



Investigation, modeling, and optimization nexus of water, energy, and food in paddy production in Rasht County

Sina Sharifi¹ | Abbas Asakereh² | Mostafa Kiani Deh Kiani³ | Somaye Janatrostami⁴

1. Department of Biosystems Engineering, Shahid Chamran University of Ahvaz, Ahvaz, Iran.

E-mail: si.na636@yahoo.com

2. Department of Biosystems Engineering, Shahid Chamran University of Ahvaz, Ahvaz, Iran.

E-mail: a.asakereh@scu.ac.ir

3. Department of Biosystems Engineering, Shahid Chamran University of Ahvaz, Ahvaz, Iran.

E-mail: m.kiani@scu.ac.ir

4. Department of Water Engineering, Faculty of Agricultural Sciences, University of Guilan, Rasht, Iran. E-mail: janatrostami@gilan.ac.ir

Article Info

ABSTRACT

Article type: Research Article

Article history:

Received: Jan. 9, 2025

Revised: Feb. 13, 2025

Accepted: Feb. 23, 2025

Published online: Autumn 2024

Keywords:

Energy,
Modeling,
NEXUS,
Optimization,
Paddy

The growing population and increasing demand for natural resources present significant challenges. The nexus approach, which involves modeling and optimizing the consumption of water, energy, and food, enhances resource efficiency and ensures the sustainability of interconnected systems. This study focuses on investigating, modeling, and optimizing the water-energy-food nexus for paddy production in Rasht County. The objectives were pursued through two scenarios: high-yield paddy production and agricultural consolidation, utilizing the LEAP, WEAP, and MGP models. Data were collected from farmers, organizations, and library sources. Optimization was conducted using the NSGA-II algorithm. Inputs such as fuel, electricity, agricultural machinery, chemicals, organic materials, labor, and water were analyzed. The water resources considered included those for drinking, industrial, and agricultural purposes, as well as rivers, channels, ponds, and groundwater. The results revealed that the average energy consumption and production in the high-yield paddy variety scenario were higher compared to the agricultural consolidation scenario. The average water consumption in both scenarios showed no significant difference until 2040. Modeling results indicated that under ideal conditions, the RMSE, R², MAPE, and EF values were 353.110, 0.9032, 10.831, and 0.891, respectively. The optimization findings demonstrated that under ideal conditions, water and energy consumption, and paddy production were reduced by 0.94%, 0.53%, and 3.26%, respectively.

Cite this article: Sharifi, S., Asakereh, A., Kiani Deh Kiani, M., Janatrostami, S., (2024) Investigation, modeling, and optimization nexus of water, energy, and food in paddy production in Rasht County, *Iranian Journal of Biosystem Engineering*, 55 (3), 21-43. <https://doi.org/10.22059/ijbse.2025.388507.665580>

© The Author(s).

Publisher: The University of Tehran Press.

DOI: <https://doi.org/10.22059/ijbse.2025.388507.665580>





EXTENDED ABSTRACT

Introduction

The increasing population and growing demand for natural resources pose significant challenges. By 2030, water demand is expected to rise by 40%, and food and energy demands are projected to increase by 15% each. The agricultural sector, a major food provider, requires substantial water and energy, contributing to challenges such as droughts, global warming, and ecosystem damage. The nexus approach, focusing on sustainable use of limited resources, improves understanding of the interconnections between water, energy, and food. Modeling and optimizing this approach can improve resource efficiency and ensure sustainability in these interconnected systems.

Materials and Methods

This study aims to investigate, model, and optimize the water-energy-food nexus in paddy production in Rasht County, Iran. This objective was addressed through two scenarios using LEAP and WEAP software, along with the MGP model, and optimization was performed using the NSGA-II algorithm. Data were collected through questionnaires, documentary sources, and field interviews from a statistical population consisting of farmers and authorized fertilizer and pesticide distributors in Rasht County. Water consumption was simulated from 2020 to 2040 using the WEAP platform. The water resources supplying paddy production, household consumption, and industry in the study area, including channel irrigation, groundwater, ponds, and rivers, were examined. Model calibration was performed using the PEST Calibration plugin. The simulation in LEAP software involved energy resources and consumption data for households and paddy production in the study area. To calculate energy consumption, the usage of each input—such as electricity, fuel, agricultural machinery, labor, pesticides, chemical fertilizers, organic matter, and water—were collected and converted into their equivalent energy values using the relevant energy equivalence coefficients. The production of high-yield rice varieties, such as Fajr and Shiroodi, was considered the first scenario and compared with traditional local rice varieties. Paddy-field consolidation and its comparison with pre-consolidation conditions were considered as the second scenario. Since paddy fields face challenges such as traditional irrigation, irregular land shapes, lack of access paths, and reduced efficiency of agricultural machinery, the consolidation process has led to more uniform water distribution, reduced agricultural input consumption, and alleviated boundary-related issues. The WEAP-LEAP model output was presented in matrix form for the two scenarios. For analysis, the MGP model employed the latest branches of genetic programming. The predicted values (from the MGP model) and the observed values (from the integrated WEAP and LEAP models) were evaluated using EF, R², RMSE, and MAPE. For optimization, three multi-objective functions were used to maximize paddy production, minimize water and energy consumption, with constraints applied.

Results and Discussion

A comparison of energy consumption and production in local and high-yield paddy varieties indicated that local varieties consumed more energy, while high-yield varieties produced higher energy. The energy ratio was found to be 0.53 for local varieties and 0.99 for high-yield varieties. In the second scenario, results showed that energy consumption and production were higher in consolidation fields compared to traditional fields, with an energy ratio of 1.06 for consolidation fields and 0.975 for traditional fields. The analysis of two scenarios revealed that the second scenario was more efficient in terms of water and energy consumption and paddy production. The MGP tree diagram includes 14 nodes, 4 levels, and a complexity of 44, representing potential solutions, evolutionary depth, and the alternatives required to reach feasible solutions. Under optimal conditions, the RMSE, R², MAPE, and EF values were calculated as 110.353, 0.9032, 10.831, and 0.891, respectively. According to the optimization results for water consumption, water demand, cultivated area, and maximum rice production showed improvements of 17.91%, 1.42%, and 0.66%, respectively. Pareto optimization results indicated that under optimal conditions, it is possible to achieve a maximum rice production of 10.666 t/ha. In this case, the minimum water consumption is 652.32 MCM, and the energy consumption is 106223 MJ/ha. Furthermore, Pareto optimization results showed that under optimal conditions, it is possible to achieve a minimum water consumption of 633 MCM and a minimum energy consumption of 152,310 MJ/ha. Under these conditions, rice production was 10,120 and 10,360 t/ha, respectively.

Conclusion

This study investigated, modeled, and optimized the nexus between water, energy, and food in paddy production in Rasht County, Iran. The modeling and optimization results indicated improved results.

Credit authorship contribution statement

Sina Sharifi: Conceptualization, Methodology, Software, Validation, Formal analysis, Investigation,

Resources, Data curation, Writing – original draft, Visualization.

Abbas Asakereh: Conceptualization, Resources, Review and Editing, Supervision, Project administration, Funding acquisition.

Mostafa Kiani Deh Kiani: Review and Editing, Supervision.

Somaye Janatrostami: Supervision.

All authors have read and agreed to the published version of the manuscript.

Data Availability Statement

All data utilized in this study are provided within the text, as well as in the form of tables and figures. Additional data are available from the authors on request.

Acknowledgments

The authors express their gratitude to the Vice Chancellor for Research and Technology of Shahid Chamran University of Ahvaz, Iran, for providing financial support through the research grant (No. SCU-AA98.29747).

Ethical considerations

The authors avoided data fabrication, falsification, plagiarism, and misconduct.

Conflict of interest

The author declares no conflict of interest.



بررسی، مدل‌سازی و بهینه‌سازی همبست آب، انرژی و غذا در تولید شلتونک شهر رشت

سینا شریفی^۱ | عباس عساکره^۲ | مصطفی کیانی ده کیانی^۳ | سمیه جنت‌رسنی^۴

۱. گروه مهندسی بیوسیستم، دانشکده کشاورزی، دانشگاه شهید چمران اهواز، اهواز، ایران. رایانه: si.na635@yahoo.com

۲. نویسنده مسئول، گروه مهندسی بیوسیستم، دانشکده کشاورزی، دانشگاه شهید چمران اهواز، اهواز، ایران. رایانه: a.asakereh@scu.ac.ir

۳. گروه مهندسی بیوسیستم، دانشکده کشاورزی، دانشگاه شهید چمران اهواز، اهواز، ایران. رایانه: m.kiani@scu.ac.ir

۴. گروه مهندسی آب، دانشکده کشاورزی، گیلان، رشت، ایران. رایانه: janatrostami@gilan.ac.ir

اطلاعات مقاله

چکیده

نوع مقاله: مقاله پژوهشی

افزایش جمعیت و تقاضا برای منابع طبیعی چالش‌های بزرگی به همراه دارد. رویکرد همبست منابع همراه با مدل‌سازی و بهینه‌سازی مصرف آب، انرژی و غذا، کارآیی منابع را افزایش و پایداری سیستم‌های مرتبط را تضمین می‌کند. مطالعه کنونی به بررسی، مدل‌سازی و بهینه‌سازی همبست آب، انرژی و غذا در تولید شلتونک برنج در شهرستان رشت پرداخته است. این هدف در قالب دو سناریو کشت ارقام پرمحصلو شلتونک برنج و تسطیح اراضی کشاورزی با استفاده از نرم‌افزارهای LEAP و MGP و مدل WEAP انجام شد و فرآیند بهینه‌سازی با الگوریتم NSGA-II صورت پذیرفت. داده‌ها از کشاورزان، سازمان‌ها و منابع کتابخانه‌ای به دست آمدند. نهاده‌های سوخت و برق، ماشین‌های کشاورزی، مواد شیمیایی و آلی، نیروی کار و آب مورد بررسی قرار گرفتند. منابع آب مورد بررسی در نیازهای شرب، صنعت و کشاورزی، رودخانه‌ها، کانال‌ها و آبیندان‌ها و آبهای زیرسطحی بودند. نتایج نشان داد که میانگین انرژی مصرفی و میانگین انرژی حاصل از تولید شلتونک در سناریو ارقام پرمحصلو شلتونک برنج نسبت به سناریو تسطیح اراضی کشاورزی بیشتر بوده است. میانگین آب مصرفی در دو سناریو تا افق ۱۴۱۹ تفاوت چندانی نسبت به یکدیگر نداشت. نتایج مدل‌سازی نشان داد که در شرایط ایدهآل، مقادیر RMSE، MAPE، R² و EF به ترتیب برابر با ۱۱۰/۳۵۳، ۰/۹۰۳۲، ۰/۹۰۳۱ و ۰/۸۹۱ می‌باشد. نتایج بهینه‌سازی نشان داد که در شرایط بهینه، مصرف آب، انرژی و تولید شلتونک به ترتیب برابر با ۰/۹۴، ۰/۹۶ و ۰/۵۳ درصد بهبود یافتند.

واژه‌های کلیدی:

انرژی،

بهینه‌سازی،

شلتونک،

مدل‌سازی،

نکسوس.

استناد: شریفی؛ سینا، عساکره؛ عباس، کیانی ده کیانی؛ مصطفی، جنت‌رسنی؛ سمیه، (۱۴۰۳) بررسی، مدل‌سازی و بهینه‌سازی همبست آب، انرژی و غذا در تولید شلتونک

شهر رشت، مجله مهندسی بیوسیستم، ایران / ایران، ۵۵(۳)، ۴۳-۲۱. <https://doi.org/10.22059/ijbse.2025.388507.665580>

ناشر: مؤسسه انتشارات دانشگاه تهران.



© نویسنده‌ان

DOI: <https://doi.org/10.22059/ijbse.2025.388507.665580>

مقدمه

افزایش جمعیت و نیاز روزافزون به منابع طبیعی، روندی نگران کننده برای جمعیت فعلی و نسل‌های بعدی را نشان می‌دهد. بر اساس نتایج تحقیقات، تا سال ۲۰۳۰، تقاضا برای آب ۴۰ درصد و برای غذا و انرژی هر کدام ۱۵ درصد افزایش خواهد یافت (Conti et al., 2016; Jenkins et al., 2017; Keating et al., 2014 منجر به ناپایداری در تأمین غذا و انرژی، بروز بحران‌های آبی و افزایش آسیب‌پذیری جوامع در برابر تغییرات اقلیمی شود. در این راستا، نظام کشاورزی به عنوان بخش اصلی تأمین‌کننده مواد غذایی، نیازمند مصرف مقدار زیادی انرژی و آب است که پیامد آن، افزایش خشکسالی‌ها، گرمایش جهانی، تغییرات اقلیمی و در نتیجه وارد آمدن صدمات جبران‌ناپذیر به زیست‌بوم‌ها می‌باشد (Zarei et al., 2021). در سال‌های اخیر، رویکرد یکپارچگی منابع آب، انرژی و غذا به عنوان راهکاری نوآورانه برای دستیابی به امنیت این منابع مطرح شده است. این ایده نخستین بار در کنفرانس همبست در بن آلمان به رسمیت شناخته شد و بر تعاملات متقابل میان آب، انرژی و غذا تأکید دارد. این رویکرد، با دیدگاهی جامع و سیستماتیک به مسئله نگاه می‌کند و به جای بررسی جداگانه هر منبع، بر تعاملات و همپوشانی‌های بین آن‌ها تأکید دارد. این امر باعث می‌شود که راهکارهای بهینه‌تری برای مدیریت منابع ارائه شود که منجر به پایداری بیشتر می‌شود. تحقیقات دهه اخیر بر بررسی این روابط و اثرات متقابل آن‌ها متمرکز بوده است. رویکرد همبست با هدف بهره‌برداری پایدار از منابع محدود بشری، به درک عمیق‌تر این ارتباطات کمک می‌کند. در بخش کشاورزی، که با عدم قطعیت‌های تولید و مصرف مواجه است، اتخاذ این رویکرد برای تحقق اهداف توسعه پایدار در این بخش حیاتی است. حدود ۸۵ درصد از آب شیرین و ۱۵ درصد از برق کشور در بخش کشاورزی مصرف می‌شود. این آمارها نشان‌دهنده وابستگی بالای بخش کشاورزی به منابع آب و انرژی است و لزوم بهبود بهره‌وری در این بخش را بیش از پیش نمایان می‌سازد. از سوی دیگر، بر اساس مدیریت ملی آب کشور، سهم مصارف آب کشاورزی در مقایسه با بخش‌های صنعت و خانگی باید کاهش یابد و همزمان، راندمان آبیاری و به دنبال آن بهره‌وری آب و تخصیص آب به محصولات استراتژیک افزایش و بازده آب در بخش کشاورزی به دو برابر افزایش یابد (کاراندیش و همکاران، ۱۴۰۱).

در ایران، شلتوك (برنج) همراه با گندم، دو غله اساسی در تغذیه و معیشت مردم به شمار می‌روند. تولید سالانه شلتوك در ایران بیش از ۳/۶۳ میلیون تن است و سهم استان گیلان در تولید شلتوك کشور ۹۷۴/۰ میلیون تن می‌باشد. شهرستان رشت در استان گیلان با داشتن بیش از ۶۲ هزار هکتار اراضی شالیکاری، یکی از بزرگترین شهرستان‌های برنج کاری کشور است. کشاورزی و کشت شلتوك برنج برای ساکنین مناطق روستایی در این شهرستان از جایگاه ارزشمندی برخوردار است؛ به گونه‌ای که، بیش از ۵۰ درصد از ساکنین در حوزه مرتبط اشتعال دارند (کاووسی و همکاران، ۱۳۹۶). میانگین مصرف برنج در ایران حدود ۳۶ کیلوگرم است، در حالی که مردم گیلان با مصرف سرانه ۵۳ کیلوگرم، بالاترین میزان مصرف برنج را در کشور دارند. این امر اهمیت و جایگاه ویژه کشت شلتوك برنج را در این استان نشان می‌دهد. حدود ۹۴ درصد از سطح زیر کشت اراضی شهرستان رشت به تولید شلتوك اختصاص داده می‌شود. از آنجا که بوته برنج گیاهی آبرابر است و این محصول در استان گیلان به طور کامل به صورت کشت غرقابی تولید می‌شود، کمبود آب به یک چالش جدی در این منطقه تبدیل شده است که می‌تواند امنیت غذایی را به خطر اندازد. علاوه بر این، جمعیت رو به رشد، افزایش روند شهرنشینی و تغییر کاربری اراضی شالیکاری، مسئله در هم تنیده منابع آب، انرژی و غذا را در حالت بحرانی قرار داده است و نقش پژوهشگران در نمایان‌سازی بیشتر این مسئله و جلب توجه ذی‌نفعان و تصمیم‌گیرندگان به اقدامات لازم اهمیت بیشتری یافته است. بنابراین، این تحقیق، به دنبال ارائه یک چارچوب جامع برای بررسی، مدل‌سازی و بهینه‌سازی همبست آب، انرژی و غذا در تولید شلتوك برنج در شهرستان رشت می‌باشد تا راهکارهایی برای دستیابی به توسعه پایدار در این منطقه ارائه دهد.

پیشینهٔ پژوهش

در بخش پیشینهٔ پژوهش، مطالعات مختلفی به بررسی رویکرد همبست آب، انرژی و غذا پرداخته‌اند. کیهان‌پور و همکاران (۲۰۲۱) با هدف ارزیابی تأثیر سtarیوهای توسعه اقتصادی-اجتماعی بر امنیت آب، غذا و انرژی در استان خوزستان به شبیه‌سازی مدیریت پایدار منابع آب پرداختند. نتایج پژوهش نشان داد که این رویکرد با افزایش ۱۵ درصدی راندمان آبیاری، بهبود قابل توجهی در مصرف آب ایجاد کرده است و همچنین منجر به بهبود الگوی کشت، کاهش ضایعات محصولات کشاورزی و بهبود عملکرد کشاورزی شده است (Keyhanpour et al. 2021). کرمیان و همکاران (۲۰۲۱) رویکرد همبست آب، انرژی و غذا را به عنوان یک دیدگاه مدیریتی و روش نوآورانه در سطح مزرعه

معرفی کردند. آن‌ها بیان داشتند که این رویکرد، با ارائه درک دقیق از فرآیندهای پیچیده مرتبط با آب، انرژی و غذا، می‌تواند به کاهش آلودگی‌های زیست‌محیطی، بهینه‌سازی تولید محصولات کشاورزی و در نتیجه، تولید مواد غذایی پاک‌تر منجر شود (Karamian et al. 2021). در مطالعه‌ای با عنوان ارزیابی همبست آب، انرژی و غذا برای مزرعه‌ای در شمال غرب ایران، نتایج نشان داد که در وضعیت بهینه، مصرف آب، انرژی و تولید غذا به ترتیب $\frac{۳۳}{۵}$ ، $\frac{۱۶}{۵۸/۹}$ و $\frac{۱}{۳۳/۵}$ درصد بهبود یافته است (Hasanzadeh Saray et al. 2022). مطالعات دیگری نیز در این زمینه انجام شده است، از جمله مطالعه منعم و همکاران (۱۳۹۹) در حوضه آبریز زاینده‌رود اصفهان، پرون و همکاران (۱۴۰۰) در دو منطقه از استان هرمزگان، گودرزی و همکاران (۱۳۹۹) در شهر بروجرد استان لرستان، و بیات و همکاران (۱۴۰۰) در شبکه‌های آبیاری رودشت اصفهان که در آن‌ها از رویکرد همبست برای تحلیل و مدیریت یکپارچه منابع آب، انرژی و غذا استفاده شده است. همچنین، در سطح بین‌المللی، در کشور چین، یک مدل بهینه‌سازی چندهدفه با هدف مشخص شدن اثرات زیست‌محیطی و مدیریت پایدار سیستم‌های آب، انرژی، زمین و کربن ارائه شد. در این مدل، تخصیص منابع با هدف کاهش انتشار کربن و افزایش بهره‌وری آب و انرژی با ترکیب الگوریتم^۱ NSGA-II و مدل^۲ MODM انجام شد. نتایج نشان داد تخصیص کل منابع آب و سطح زیر کشت شلتوك برنج، ذرت و کلزا کاهش یافته است (Feng et al., 2023). در پژوهشی دیگر، با هدف کاهش هزینه‌های اقتصادی-اجتماعی و اثرات زیست‌محیطی بخش کشاورزی، از یک مدل خطی تک‌هدفه برای توسعه شاخص مصرف منابع آب، انرژی و تولید غذا استفاده شد. تابع هدف این تحقیق بر کمینه‌سازی هزینه کل سیستم مت مرکز بود که شامل مجموع هزینه‌های تأمین انرژی، تأمین آب، تولید برق، تولید مواد غذایی و کاهش انتشار CO_2 می‌شد. نتایج پژوهش نشان داد که مدل ارائه شده می‌تواند به مدیران و تصمیم‌گیران در برنامه‌ریزی‌های آینده کمک شایانی کند (Zhang & Vesselinov, 2017). در یک مطالعه دیگر، عملکرد سه کارخانه تولید شکر از مزارع نیشکر کشور ایوبی به وسیله بررسی شاخص همبست آب، انرژی و غذا مقایسه شدند تا شیوه مدیریتی کارآمدتر شناسایی شود. این شاخص بر اساس تلفیق سودمندی اقتصادی و مصرف هر منبع توسعه داده شد و نتایج مطالعات نشان داد که بهبود شاخص همبست وابسته به استفاده از شیوه‌های نوین آبیاری است. این روش‌ها باعث افزایش سودمندی اقتصادی آب و کاهش مصرف آن می‌شوند (Hailemariam et al., 2019).

در یک جمع‌بندی، می‌توان بیان کرد که مروج تحقیقات گذشته نشان‌دهنده این است که پژوهشگران به طور گسترده از رویکرد همبست به عنوان یک روش جامع برای حل مسائل مربوط به مدیریت پایدار منابع طبیعی در سطوح مختلف شامل شهری، منطقه‌ای و استانی استفاده کرده‌اند. این رویکرد با توجه به اهداف توسعه پایدار در زمینه‌های آب، انرژی و غذا مورد بررسی قرار گرفته است. با این حال، تعداد محدودی از تحقیقات به طور تخصصی به بررسی تولید برنج پرداخته‌اند. بنابراین، به دلیل اهمیت تولید شلتوك برنج در شهرستان رشت، تحقیق حاضر به بررسی، مدل‌سازی و بهینه‌سازی همبست آب، انرژی و غذا در تولید شلتوك برنج در این شهرستان می‌پردازد. این هدف در قالب دو سناریو با استفاده از نرم‌افزارهای LEAP^۳، WEAP^۴ و مدل^۵ MGP^۶ انجام می‌شود و فرآیند بهینه‌سازی با الگوریتم NSGA-II^۷ صورت می‌پذیرد. این تحقیق با بررسی دقیق این موضوع، می‌تواند به ارائه راهکارهای عملی و بومی برای مدیریت بهینه منابع در این منطقه کمک کند.

روش‌شناسی پژوهش

این تحقیق در حوضه آبریز سد سفید رود، نواحی شهری، صنعتی و کشاورزی رشت و چهار بخش کوچصفهان، لشتنشاء، خشکیجار و سنگر در طول جغرافیایی $۴۹^{\circ}۸۶۱۱'$ تا $۴۹^{\circ}۵۹۲۱'$ و عرض جغرافیایی $۳۷^{\circ}۱۷۹۶'$ تا $۳۷^{\circ}۳۷۳۰'$ در بازه زمانی ۱۴۰۳-۱۳۹۸ انجام شده است. موقعیت جغرافیایی تحقیق در شکل ۱ آمده است.

این پژوهش از نظر هدف، کاربردی و از نظر روش گردآوری اطلاعات، تحلیلی-محاسباتی است. بر اساس اطلاعات پرسشنامه‌ای، منابع اسنادی سازمان‌های مربوطه و مصاحبه‌های میدانی جمع‌آوری شده‌اند. جامعه آماری شامل ۱۶۰ هزار کشاورز و مالک مزرعه، و ۲۰۰ فروشنده و توزیع‌کننده مجاز کود و سم شیمیایی است. نمونه‌های آماری بر اساس رابطه ۱ (Cochran, 1977) با احتمال یکسان برای انتخاب شدن در هر دو گروه ۱ کشاورز و مالک مزرعه، و گروه ۲ توزیع‌کننده مجاز کود و سم شیمیایی)، به روش نمونه‌گیری تصادفی

1- Non-Dominated Sorting Genetic Algorithm II

2- Multi-objective Decision Making

3- Long-range Energy Alternatives Planning

4- Water Evaluation and Planning system

5- Multi-gene Genetic Programming

6- Non-dominated Sorting Genetic Algorithm II

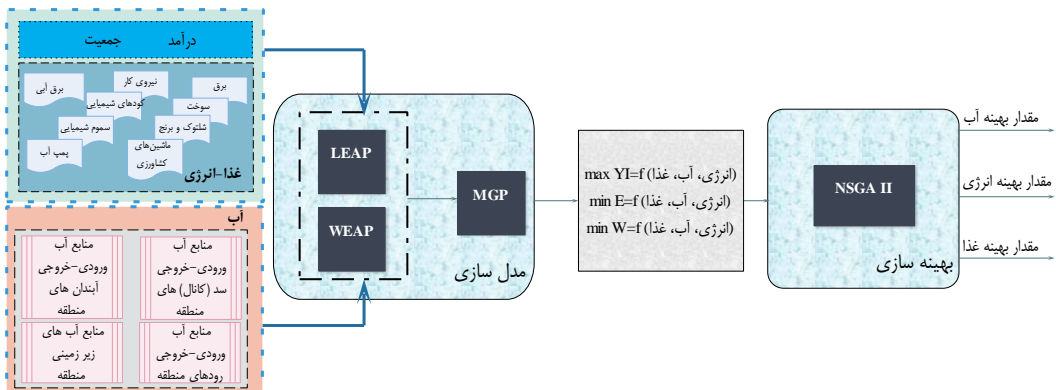
ساده تعیین شدند و به ترتیب شامل ۳۸۵ کشاورز و مالک مزرعه و ۱۳۲ فروشنده و توزیع کننده کود و سم شیمیایی انتخاب شدند.

$$n = \frac{\frac{Z^2 \times p \times q}{d^2}}{1 + \frac{1}{N} \left(\frac{Z^2 \times p \times q}{d^2} - 1 \right)} \quad (رابطه ۱)$$

جاييكه $N =$ جامعه آماري، $p = ۰/۵$ و $q = ۰/۰۵$ به ترتیب احتمال بهینه بودن و نبودن متغیرها، $Z = ۳/۸۴۱۶$ سطح اطمینان ۹۵ درصد و $d = ۰/۰۵$ حداکثر دقّت نمونه گیری بود و $n =$ حجم نمونه بود. جهت بررسی پایایی پرسشنامه ها از آزمون ضریب آلفای کرونباخ استفاده شد که برابر با $۰/۹۲$ به دست امد که قابل قبول است. همچنان، شاخص CVI برابر با $۰/۸۹$ به دست امد که کیفیت مناسب سوالات از نظر ارتباط، وضوح و سادگی را تأیید می کند. چارچوب کلی تحقیق در شکل ۲ نمایش داده شده است که در ادامه توضیح داده شده اند.



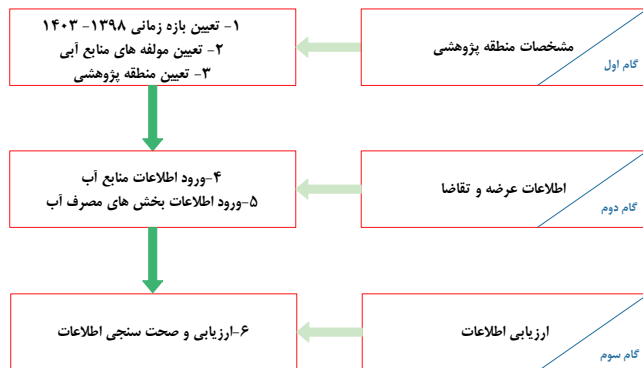
شکل ۱. موقعیت منطقه مورد مطالعه



شکل ۲. چارچوب تحقیق

ورود اطلاعات به نرم افزار WEAP

در نرم افزار WEAP معادله توازن جرمی آب برای هر گره و اتصال در سامانه به صورت ماهانه و سالانه حل می شود. هدف از این فرآیند، تأمین نیازهای مصرف کنندگان آب با توجه به اولویت و ارجحیت تقاضا، و بیلان جرمی است. در تحقیق حاضر ارجحیت به ترتیب به کشاورزی، صنعت و خانگی تخصیص داده شد. نرم افزار WEAP دارای دو بخش داده ورودی اصلی است که شامل منابع تأمین آب (بخش عرضه) و سایتهای مصرفی (بخش تقاضا) می باشد. در بخش عرضه میزان منابع تأمین آبی از جمله رودخانه ها، کانال ها و آب بندان ها و منابع آب های زیر سطحی در منطقه مورد مطالعه به مدل وارد شدند. در بخش تقاضا نقاط مصرف آب به مدل وارد شدند. روند کلی مدل ساز WEAP در شکل ۳ آمده است.



شکل ۳. روند کلی مدل ساز WEAP

بر اساس شکل ۳ برای معرفی منطقه مورد مطالعه در گام اول و پیش از شروع مدل سازی باید مولفه های منابع آب منطقه در نرم افزار WEAP تعریف شود و مقداردهی مولفه های اصلی صورت گیرد (جدول ۱). اراضی کشت شلتوك در منطقه مورد پژوهش، شامل اراضی کشت ارقام پر محصول و محلی، اراضی سنتی و اراضی تجهیز و نوسازی شده است که در مجموع ۶۲۳۳۶ هکتار را پوشش می دهد. تعداد مصرف کنندگان آب شرب، شامل جمعیت شهری و روستایی، حدود یک میلیون نفر در نظر گرفته شده است. شاخص درصد نیاز ماهانه آب در هر یک از سایت های نیاز نشان می دهد که هر سایت (مانند یک مزرعه، یک بخش صنعتی یا یک منطقه خاص) در هر ماه چه مقدار از نیاز آب خود را نسبت به کل نیاز آن سایت در طول سال مصرف می کند. اگر نیاز سال زراعی یک مزرعه ۸۰۰۰ مترمکعب بر هکتار باشد و در ماه تیر ۳۰۰۰ مترمکعب بر هکتار آب نیاز داشته باشد، درصد نیاز این ماه برابر خواهد بود با $\frac{۳۷}{۵}$ درصد. شاخص درصد مصرف آب در سیستم تقاضا نشان می دهد که چه درصدی از آب قابل دسترس (تخصیص داده شده) در واقع مصرف می شود. این مقدار نیاز دهنده کارایی مصرف آب در یک سیستم است. شاخص های ذکر شده جزو مهم ترین مولفه های مدل ساز WEAP می باشند که تعیین کمیت هر یک از اطلاعات با یگانی شده سازمان های ذی ربط انجام شد.

جدول ۱. تعیین مولفه های منابع آب در منطقه پژوهشی

سطح زیر کشت ارقام پر محصول و محلی	
تعداد افراد مصرف کننده آب شرب	۶۲,۳۳۶ هکتار
درصد نیاز ماهانه آب در هر یک از سایت های نیاز	۱,۰۰۰,۰۰۰ نفر
درصد مصرف آب در سیستم تقاضا	۳۷/۵ درصد
درصد تلفات در سایت های تقاضا یا نیاز های برآورده نشده در سایت	۸۰ درصد
یک در صد	

در منطقه مطالعاتی، منابع آب برای تأمین نیازهای شرب، صنعت و کشاورزی، به دو بخش آب های سطحی و زیرزمینی تقسیم شده اند. رودخانه ها، کانال ها و آب بندان ها از منابع سطحی هستند. در این تحقیق، از روش متداول تخصیص منابع آبی رودخانه ای تنانت^۱ (مونتانا)^۲ که بر اساس درصدی از دبی متوسط سالانه^۳ (MAF) است، استفاده شد. آب بندان ها یکی دیگر از منابع مهم آب سطحی در شمال کشور هستند که به صورت طبیعی یا مصنوعی ایجاد می شوند. مجموع حجم آب قابل برداشت کشت شلتوك برج، مصارف شرب و استفاده در صنعت پس از کسر از تلفات رودخانه ای، زهکش آبخوان و تبخیر لحظه شد.

در این پژوهش، واسنجی مدل با بهره گیری از افزونه PEST Calibration انجام شد. این فرآیند از طریق تطبیق مقادیر دبی جریان مشاهده شده در ایستگاه هیدرومتری با مقادیر شبیه سازی شده توسط نرم افزار صورت گرفت. به منظور واسنجی مدل، ایستگاه هیدرومتری پیریاز که در مجاورت شهر رشت قرار دارد، به عنوان نقطه خروجی حوضه انتخاب شد.

ورود اطلاعات به نرم افزار LEAP

داده های مورد نیاز بخش اسناد از سازمان آمار و اطلاعات، شرکت آب منطقه ای شهر رشت، شرکت توانیر و موسسه تحقیقات برج رشت

1 - Tenant

2 - Montana

3- Mean Annual Flow

جمع آوری شد. داده های مورد نیاز در بخش شبیه سازی با نرم افزار LEAP مربوط به منابع انرژی و مصارف می باشد که شامل داده های مربوط به خانوار و تولید شلتوك منطقه می باشد. در این مطالعه، داده های ورودی به مدل LEAP به دو بخش عرضه و تقاضا تقسیم شدند. در بخش عرضه (تأمین) انرژی، اطلاعات مربوط به غذای تولیدی، شامل محتوای انرژی شلتوك تولیدی، به مدل LEAP وارد گردید. به طور مشابه، در بخش تقاضا (صرف)، منابع انرژی موجود در مزرعه با توجه به محتوای انرژی منابع صرفی وارد مدل LEAP شدند. علاوه بر این، با ورود اطلاعات مربوط به مفروضات کلیدی، صرف انرژی و همچنین تولید غذا را در چارچوب تولید انرژی شبیه سازی شد. در جدول ۲ مفروضات کلیدی شبیه سازی در نرم افزار LEAP آمده است.

جدول ۲. مفروضات کلیدی شبیه سازی

۵۳۹ هزار میلیارد ریال	تولید ناخالص داخلی	۸۸۴ میلیون ریال	درآمد
۳/۵ درصد	نرخ رشد درآمد	۱,۰۰۰,۰۰۰ نفر	جمعیت
۰/۶۲ درصد	نرخ رشد جمعیت	۳	تعداد اعضای خانوار
۱۴۱۹ سال پایانی شبیه سازی		۳۳۳,۳۳۳	تعداد خانوار

سناریوها

کشت ارقام پر محصول شلتوك برنج مانند فجر و شیرودی به عنوان یک راهبرد خوداتکایی محصول استراتژیک کشور و مقایسه آن با کشت رقم هاشمی (رقم محلی) به عنوان سناریو اول در نظر گرفته شد. لازم به ذکر است که ارقام محلی در بازار از مرغوبیت و بازار پسندی بیشتری برخوردار می باشند. سناریوی دوم شامل تسطیح اراضی کشاورزی و مقایسه آن با شرایط پیش از تسطیح می باشد. این دو سناریو با میانگین صرف در پنج بخش رشت، کوچصفهان، خشکبیجار، سنگر و لشت نشاء با ادامه شرایط موجود در استفاده از ارقام محلی و عدم تسطیح مقایسه شدند. برای بررسی و مقایسه سناریوها با توجه به مقادیر نهاده های انرژی و انرژی شلتوك تولیدی با استفاده از شاخص راندمان انرژی (نسبت انرژی)، کارایی هر یک از سناریوها در تبدیل انرژی صرفی به محصول نهایی شلتوك تحلیل شدند.

$$ER = \frac{E_{Out}}{E_{In}} \quad (2)$$

جاییکه، E_{Out} انرژی خروجی (تولیدی) (MJ/ha), E_{In} انرژی ورودی (صرفی) (MJ/ha) و ER بیانگر نسبت انرژی (بدون بعد) می باشند.

برای محاسبه انرژی صرفی میزان استفاده از هر یک نهاده های برق، سوخت، ماشین های کشاورزی، نیروی کار، سmom، کود شیمیایی و آبی، پمپ آب و آب در محدوده مورد مطالعه، جمع آوری و با استفاده از ضرایب هم ارز انرژی (جدول ۳) مربوط به انرژی معادل خود تبدیل شدند.

جدول ۳. معادله های انرژی متغیرهای صرفی

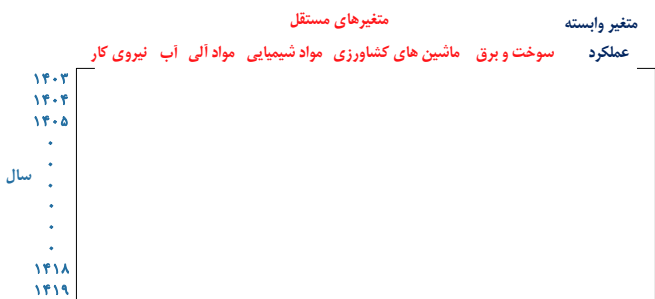
هم ارز انرژی (منبع)	متغیر صرفی	هم ارز انرژی (منبع)	متغیر صرفی	هم ارز انرژی (منبع)	متغیر صرفی	هم ارز انرژی (منبع)	متغیر صرفی
$MJ/kg(1) ۱۲۰$	علف کش	$MJ/kg(1) ۲۰/۹$	سولفات روی	$MJ/h(1) ۵/۵$	دروگر	$(1) ۰/۲۱ MJ/h$	پمپ آب
$MJ/kg(1) ۱۴/۷$	بذر	$MJ/kg(1) ۶۰$	نیترات	$MJ/h(1) ۷/۵$	خرمنکوب	$MJ/h(1) ۱۷۱$	کمباین
$(1) ۵۶/۳۱ MJ/lit$	کازوئیل	$MJ/kg(1) ۶/۷$	پتانس	$MJ/kWh(1) ۱۱/۹۳$	برق	$MJ/h(1) ۱۷/۴$	تیللر
$MJ/lit(1) ۴۸/۲۳$	بنزین	$MJ/kg(1) ۱۱/۱$	فسفات	$(1) ۱/۹۶ MJ/labor-h$	نیروی کار	$MJ/h(1) ۱۰/۹$	تراکتور
$(3) ۱/۰۲ MJ/lit$	آب	$MJ/kg(1) ۱۲۰$	حشره کش	$MJ/kg(2) ۰/۳$	کود حیوانی	$MJ/h(1) ۱۰/۳$	روتیواتور
				$MJ/kg(1) ۱۲۰$	قارچ کش	$MJ/h(1) ۹/۴$	نشاء کار

1-(Nassiri & Singh, 2009), 2- (Singh, J. M. 2002), 3- (Acaroglu, M. 1998)

1 - Key Assumption

2 - Energy Ratio

با بهره‌گیری از ابزار تعییه شده در نرم‌افزارهای LEAP و WEAP، فرآیند همگام‌سازی و ادغام این دو نرم‌افزار انجام شد تا ارتباطات و تعاملات میان بخش‌های آب، انرژی و تولید شلتوك به صورت جامع بررسی شود. این همگام‌سازی امکان تحلیل همزمان منابع و ارزیابی سناریوهای مختلف را فراهم کرده است. نتایج حاصل از تلفیق WEAP-LEAP، عملکرد شلتوك، براساس ماتریس شکل ۴ به مدل MGP وارد شد و مدل MGP مورد بررسی قرار گرفت.



شکل ۴. شمای ماتریس ورودی به مدل MGP

خروجی مدل تلفیقی LEAP-WEAP، به صورت ماتریس ارائه گردید که برای تحلیل بهتر، از مدل MGP، از جدیدترین شاخه‌های برنامه نویسی ژنتیک استفاده شده است. تفاوت و مزیت اصلی مدل MGP نسبت به الگوریتم ژنتیک در نحوه ارائه مدل متمرکز شده است. به دلیل توانایی MGP در تولید ساختارهای متنوع و انعطاف‌پذیر، این روش می‌تواند راه حل‌های خلاقانه‌تر و نوآورانه‌تری ارائه دهد. ابتدا یک جمعیّت اولیه به طور تصادفی تولید می‌شود تا ساختار اولیه نمودار درختی ساخته شود. در ادامه با تلاقي اطلاعات دو عضو (در گره‌ها) اطلاعات جدیدی ایجاد می‌شود که این دو عضو نقش والد و فرزند را در ژنتیک دارند. برگ‌های درخت شامل متغیرهای مستقل و مقدار ثابت هستند که به آن‌ها ترمینال گفته می‌شود. نمودار درختی از نقاط انتهایی (متغیرهای تصمیمی و مقادیر ثابت) و گره‌های عملیاتی (علائم ریاضی) تشکیل شده است. عملگرهای محاسباتی مانند گره‌های داخلی محسوب شده و مجموعه توابع را تشکیل می‌دهند. ترکیب توابع و ترمینال‌ها، جمعیّت اولیه‌ای برای مدل غیرخطی برنامه ژنتیکی را ایجاد می‌کند (هوشیار و اشرف‌طالبش، ۱۳۹۵). در این تحقیق، جمعیّت اولیه به طور تصادفی برابر با ۵۰ در نظر گرفته شد. جدول ۴ تنظیمات پارامترهای مختلف در برنامه‌نویسی ژنتیک را نشان می‌دهد که برای افزایش دقّت و کاهش خطای مدل از روش آزمون و خطأ استفاده شد.

جدول ۴. تنظیم پارامترها در مدل MGP

تنظیمات	پارامترها
۱۰۰۰، ۸۰۰، ۶۰۰ و ۴۰۰	اندازه جمعیّت
۷۰۰ و ۵۰۰، ۳۰۰، ۱۰۰	تعداد نسل
... sqrt log tanh cos sin ^ × ÷ + -	مجموعه توابع

$$RMSE = \sqrt{\frac{1}{n} \sum_{i=1}^n (A_i - P_i)^2} \quad (3)$$

$$R^2 = 1 - \frac{\sum_{i=1}^n (A_i - P_i)^2}{\sum_{i=1}^n (A_i - \bar{A})^2} \quad (4)$$

$$MAPE = \frac{\sum_{i=1}^n \left| \frac{A_i - P_i}{A_i} \right|}{n} \quad (5)$$

$$EF = 1 - \frac{\sum_{i=1}^n (A_i - P_i)^2}{\sum_{i=1}^n (A_i - \bar{P}_i)^2} \quad (6)$$

در رابطه‌های ۳ تا ۶، A_i ، P_i و \bar{A}_i به ترتیب مقادیر پیش‌بینی (توسط مدل MGP)، محاسباتی و مشاهده شده (توسط مدل Tلفیقی WEAP و LEAP)، میانگین مقدار محاسباتی و میانگین مقدار پیش‌بینی برای i -داده می‌باشد. بهترین عملکرد مدل‌ها برای تخمین مجموعه داده‌ها، زمانی به دست می‌آید که معیار خطای MAPE و RMSE حداقل و نزدیک به صفر و معیارهای عملکردی شامل EF و R^2 حداقل و نزدیک به یک باشد. ایجاد حداقل اختلاف بین مقادیر مشاهداتی و محاسبه شده (در این تحقیق مدل Tلفیقی WEAP و LEAP) و مقادیر پیش‌بینی شده (در این تحقیق مدل MGP) دقت مدل برنامه‌نویسی ژنتیک را نشان می‌دهد.

در این مطالعه از روش بهینه‌سازی NSGA-II برای بهینه‌سازی همبست آب، انرژی، و غذا در شهرستان رشت استفاده شد. این روش بر شبیه‌سازی تکامل طبیعی برای حل مسائل استوار است. ابتدا یک جمعیت اولیه از راه حل‌های ممکن تولید می‌شود که در این مطالعه برابر با ۵۰ در نظر گرفته شد و براساس چندینتابع هدف ارزیابی می‌شود که رابطه‌های ۷، ۸ و ۹ توضیح داده شده است. راه حل‌ها با استفاده از مفهوم تسلط پارتی مرتباً شده و جبهه‌های نامغلوب تشکیل می‌شوند. برای حفظ تنوع، از معیار فاصله استفاده می‌شود. سپس، عملگرهای ژنتیکی مانند ترکیب^۱ و جهش^۲ برای تولید نسل جدید به کار می‌روند. در هر نسل، ترکیبی از جمعیت والدین و فرزندان براساس تسلط و تنوع انتخاب شده و فرایند تا همگرا بی یا دستیابی به شرایط توقف ادامه می‌یابد. خروجی نهایی مجموعه‌ای از راه حل‌های بهینه پارتی است.

اجرای بهینه همبست آب، انرژی و غذا در تولید شلتوك برنج در شهرستان رشت به منظور دستیابی به کمترین مصرف آب، کمترین مصرف انرژی و بیشترین تولید غذا با استفاده از الگوریتم NSGA-II اجرا شد که توابع هدف مساله را بیان می‌کند. اولین هدف بیان می‌دارد که به ازای مصرف چه میزان آب آبیاری، تولید شلتوك برنج بیشینه و مصرف انرژی کمینه خواهد شد، که به صورت رابطه ۷ نشان داده شده است.

$$W = \frac{\sum IqTa \times (\sum Em + \sum Ew + \sum Ec + \sum Eo + \sum Ef + \sum El)}{\sum YcTa} \quad (7)$$

در رابطه ۷، W میزان مصرف آب، Yc عملکرد شلتوك برنج، Ta سطح زیرکشت ارقام شلتوك برنج، Em انرژی کاربرد ماشین‌های کشاورزی، Ewp انرژی مصرفی پمپ‌های تأمین آب، Ec انرژی مصرفی نهاده‌های شیمیایی (سموم و کودهای شیمیایی)، Eo انرژی مصرفی نهاده‌های آلی (کمپوست و بذر)، Ef انرژی مصرفی سوت و برق، El انرژی مصرفی نیروی کار و Iq : سهمیه میزان آبیاری (به عبارت دیگر تقاضای آبیاری سالانه) می‌باشد (Niu et al., 2019). اهداف ارائه شده در رابطه‌ها، مشروط به محدودیت‌های خاص خود تعیین خواهند شد. این محدودیت‌ها شامل: دسترسی بودن نیروی کار، ماشین‌های کشاورزی، پمپ‌های تأمین آب، کودهای شیمیایی، آلی و سوت و برق می‌باشد.

دومین هدف بیان می‌کند به ازای مصرف چه میزان انرژی، میزان تولید شلتوك برنج بیشینه و میزان مصرف آب کمینه می‌شود که به صورت رابطه ۸ نشان داده شده است.

$$E = \frac{\sum Eco \times (\sum Cw + \sum Uw + \sum Pw + \sum Rw)}{\sum YcTa} \quad (8)$$

جائیکه، Eco مجموع انرژی مصرفی و Cw حجم آب تأمینی برای مزارع از کanal‌ها، Uw حجم آب تأمینی برای مزارع از آب‌های زیرزمینی، Pw حجم آب تأمینی برای مزارع از آب‌بندان‌ها، Rw حجم آب تأمینی برای مزارع از رودخانه‌ها و E میزان مصرف انرژی می‌باشدند. محدودیت‌ها در این تابع در دسترس بودن آب و زمین (سطح زیر کشت) بودند.

هدف سوم نشان می‌دهد که به ازای تولید چه میزان شلتوك، مصرف آب آبیاری کمینه و مصرف انرژی نیز کمینه خواهد شد (رابطه ۹).

$$YI = \frac{\sum YcTa}{(\sum Cw + \sum Uw + \sum Pw + \sum Rw) \times (\sum Em + \sum Ew + \sum Ec + \sum Eo + \sum Ef + \sum El)} \quad (9)$$

1 - Mean Absolute Percentage Error

2 - Root Mean Square Error

3 - Crowding Distance

4 - Crossover

5 - Mutation

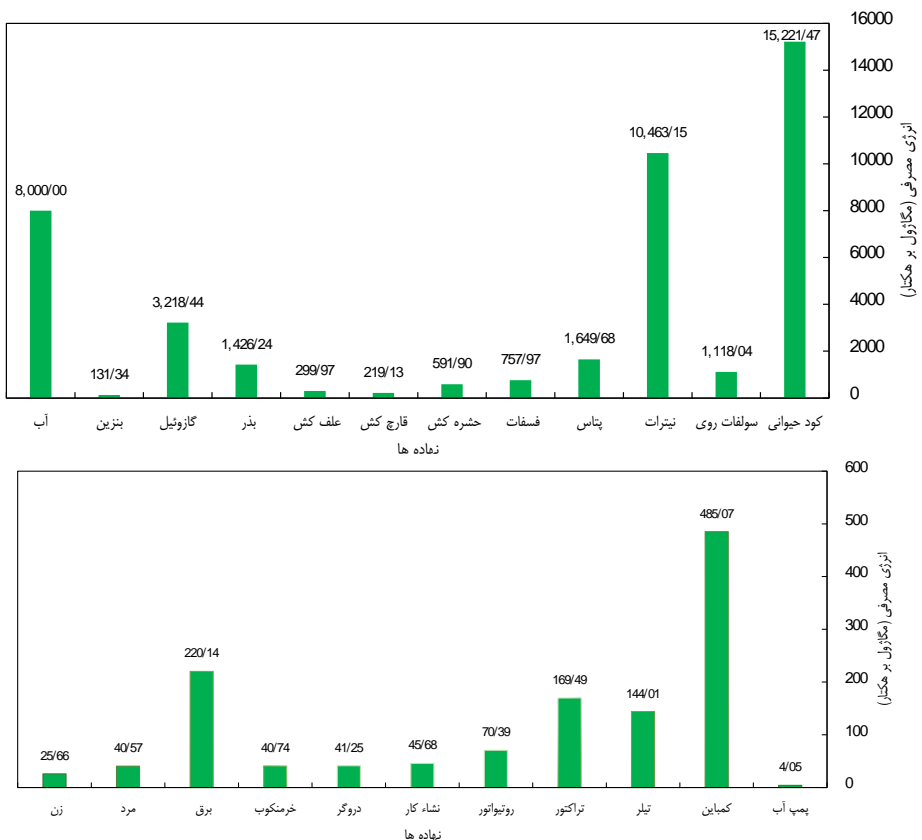
6 - Pareto Front

که در آن YI، بیانگر مجموع مقدار شلتوك برج تولیدی می‌باشد و محدودیت آن عبارت است از: دسترس بودن نیروی کار، ماشین‌های کشاورزی، پمپ‌های تأمین آب، کودهای شیمیایی، آلی، سوخت و برق. بعد از مشخص شدن متغیرهای تصمیمی، توابع هدف (تابع چندهدفه) و قیدها برای تعیین الگوی بهینه در قالب الگوریتم ژنتیک، چندهدفه در منطقه مورد مطالعه اجرا شد.

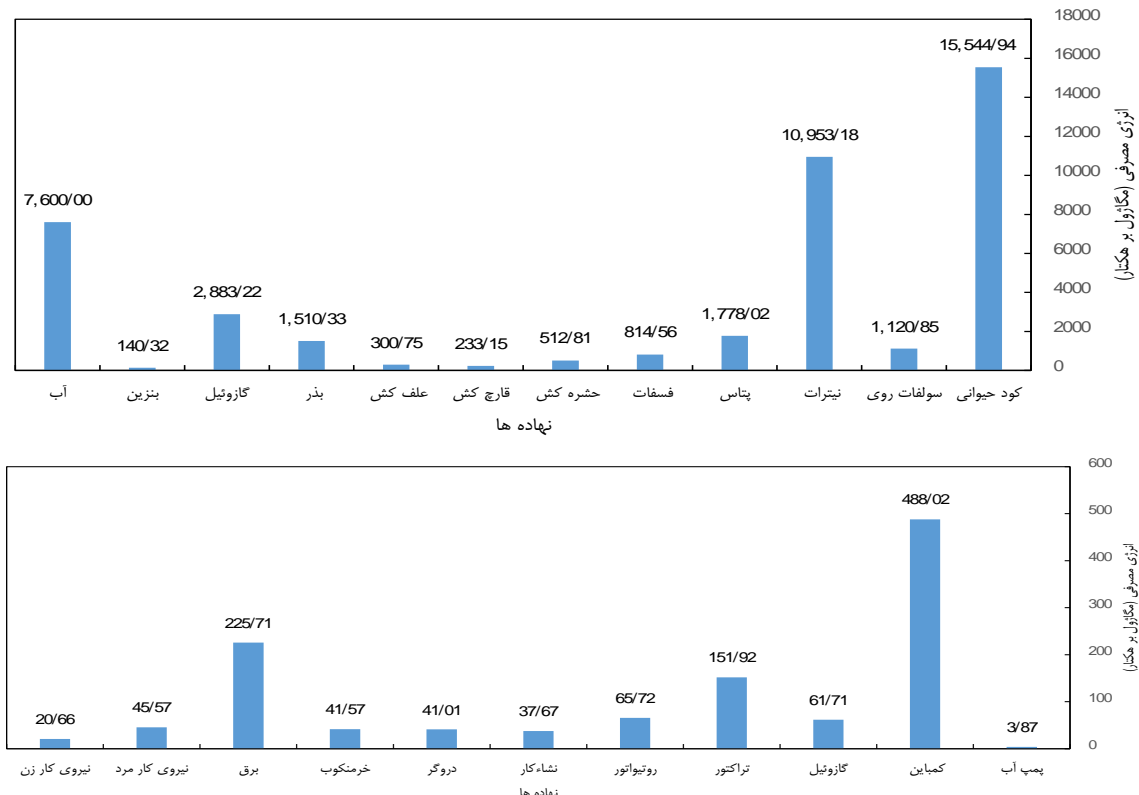
یافته‌های پژوهش

نتایج بررسی سناریوها

میانگین انرژی نهاده‌های در مزارع رقم محلی و پرمحصول به ترتیب در شکل ۵ و ۶ آمده است. بر اساس شکل ۵ در مزارع مورد بررسی، میزان انرژی مصرفی مربوط به کود حیوانی به عنوان منبعی غنی از ترکیبات ازت (نیترات)، فسفات و پتاس، سهم قابل توجهی از کل انرژی مصرفی نهاده‌ها را به خود اختصاص داده است. بررسی‌ها نشان می‌دهد که این سهم در میان مجموع نهاده‌های مصرفی، با مقدار ۳۴ درصد، بالاترین میزان را در مزارع تحت کشت ارقام محلی داشته است. در مزارع ارقام پرمحصول نیز کود حیوانی همچنان جایگاه مهمی در میان نهاده‌های مصرفی دارد، به طوری که سهم انرژی مصرفی آن به ۳۴ درصد رسیده است. پس از کود حیوانی، کود شیمیایی نیترات در ارقام محلی و ارقام پرمحصول به ترتیب به میزان ۲۳/۵۷ و ۲۴/۱۵ درصد بوده است. این مقادیر نشان می‌دهد که کود شیمیایی نیترات به عنوان یک نهاده مهم مصرفی مورد استفاده قرار می‌گیرد. نتایج حاکی از آن بود که در مزارع تحت کشت ارقام سنتی، میزان آب مصرفی در رقم محلی ۸۰۰۰ مترمکعب بر هکتار و در رقم پرمحصول ۷۶۰۰ متر مکعب بر هکتار بوده است. استفاده از کودهای پتاس، سولفات‌روی و فسفات به ترتیب ۳/۷۲، ۳/۹۲ و ۲/۴۷ درصد از مجموع انرژی مصرفی در رقم محلی و به ترتیب ۲/۵۲ و ۱/۷۱ درصد از مجموع انرژی مصرفی در رقم پرمحصول را به خود اختصاص داده‌اند. میزان مصرف بذر و استفاده از ماشین‌های کشاورزی ۱/۸ در ترتیب ۳/۲۱ و ۲/۲۳ درصد در رقم محلی و ۳/۳۳ درصد انرژی ورودی کل در رقم پرمحصول بوده است. در رقم سنتی مجموع انرژی مصرفی سوم شیمیایی برابر با ۲/۵۱ درصد کل انرژی ورودی مشاهده شد. این میزان در رقم پرمحصول برابر با ۲/۷۲ درصد بود.



شکل ۵. میانگین انرژی نهاده‌های کشاورزی در مزارع رقم محلی (مگاژول بر هکتار)



شکل ۶. میانگین انرژی نهاهه های کشاورزی در مزارع شلتوك رقم پرمحصول (مگاژول بر هکتار)

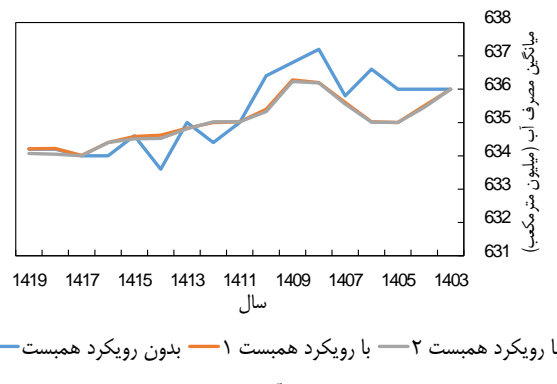
در بررسی انرژی مصرفی و انرژی حاصل از تولید شلتوك در مزارع ارقام محلی و پرمحصول، نتایج نشان دهنده تفاوت قابل توجهی بین دو نوع رقم مورد مطالعه بود. در مزارع کشت ارقام محلی، میانگین انرژی مصرفی برابر با $44236/9$ مگاژول بر هکتار بوده است، در حالی که میانگین انرژی حاصل از تولید شلتوك در این مزارع به $23771/9$ مگاژول بر هکتار می‌رسد. در مقابل، میانگین انرژی مصرفی در مزارع ارقام پرمحصول 37688 مگاژول بر هکتار برآورد شده است، در حالی که میانگین انرژی حاصل از شلتوك تولیدی در این مزارع برابر با $44519/04$ مگاژول بر هکتار بوده است. در مزارع ارقام محلی نسبت انرژی $53/0$ و در مزارع ارقام پرمحصول این نسبت برابر با $99/0$ بود. این اختلاف بیانگر بهره‌وری پایین‌تر در مصرف انرژی در ارقام محلی می‌باشد و نتیجه عملکرد بالای ارقام پرمحصول در تولید شلتوك و مدیریت بهینه منابع باشد. میانگین انرژی نهاهه ها در هر هکتار مزارع شلتوك برنج در شهرستان رشت، به تفکیک اراضی تجهیز شده و اراضی سنتی در منطقه مود مطالعه، در جدول ۵ آرائه شده است. بر اساس نتایج بدست‌آمده، از جدول ۵ می‌توان بیان کرد که شالیکاران دارای اراضی تجهیز و نوسازی شده نسبت به شالیکاران مزارع سنتی، کود حیوانی بیشتری مصرف می‌کنند. این تفاوت ممکن است به دسترسی آسان‌تر به ماشین‌آلات و سهولت حمل و نقل این نهاهه به مزارع مربوط باشد. در اراضی تجهیزی طراحی و ابعاد زمین به طور معمول به صورت قطعات بزرگتر و منظم طراحی می‌شوند.

در مزارع سنتی، به دلیل وجود قطعات کوچک، پراکنده و با مرزهای نامنظم، ورود و خروج دشوار، و میزان ساعت تردد ماشین‌های کشاورزی طولانی است. همچنین، در اراضی تجهیزی، امکان صرفه‌جویی در زمان و کاهش استفاده از سوخت و نیروی انسانی را فراهم می‌شود. علاوه بر این، در اراضی تجهیزی سیستم‌های آبیاری و کانال‌های آبرسانی نوسازی شده و استفاده از منابع آب بهتر می‌شود. در اراضی تجهیز شده، کشاورزان به دلیل آموزش‌های بهتر و دسترسی آسان‌تر به کودهای شیمیایی، تمایل بیشتری به استفاده از آن‌ها دارند. تجهیز اراضی به طور معمول منجر به بهبود کیفیت زیرساخت‌ها مانند سیستم‌های آبیاری می‌شود که می‌تواند کشاورزان را به مصرف بیشتر کودها برای دستیابی به بازدهی بالاتر شلتوك ترغیب کند. همچنین، در اراضی تجهیز شده از سیستم‌های کشت فشرده‌تر با مصرف بذر بیشتر استفاده می‌شود که به کود بیشتری برای حفظ عملکرد مطلوب محصولات نیاز دارد. ویژگی‌های خاک، شیوه‌های کاربرد و خواص کود ممکن است به کاهش کارایی کودها منجر شود و در نتیجه کشاورزان را به مصرف بیشتر سوق دهد. بررسی مصرف سم در اراضی تجهیز و نوسازی شده نشان می‌دهد که میانگین مصرف سم در هر هکتار در این اراضی کمتر از مزارع سنتی است. این کاهش می‌تواند بیانگر مدیریت بهینه‌تر و پایدارتر زراعت برنج در این مزارع باشد.

جدول ۵. میانگین انرژی نهاده های کشاورزی در اراضی تجهیز شده و سنتی (مگاژول بر هکتار)

ردیف	نهاده های کشاورزی	تجهیز شده	ستنی	ردیف	نهاده های کشاورزی	تجهیز شده	ستنی
۱	کود حیوانی	۱۶۸۰۲/۱	۱۵۹۲۰/۲۱	۹	نیترات	۱۱۲۰۳/۱۲	۱۰۹۸۴/۴۱
۲	ماشین های کشاورزی	۳۹۰/۸۵	۳۹۹/۲	۱۰	پتان	۱۸۱۰/۰۲	۱۶۹۲/۲۶
۲	گازوئیل	۴۹/۲۲	۶۱/۰۵	۱۱	فسفات	۸۱۶/۶۶	۸۱۴/۲۳
۳	بنزین	۱۳۱/۶	۱۴۴/۲	۱۲	حشره کش	۶۰۹/۴۶	۶۱۴/۱۱
۴	پمپ آب	۳/۰۵	۳/۱۲	۱۳	قارچ کش	۲۵۰/۵۶	۲۵۵/۱۱
۵	نیروی کار مرد	۲۰/۷	۲۷/۲	۱۴	علف کش	۳۱۰/۵۵	۳۱۲/۲
۶	نیروی کار زن	۱۲/۳	۱۳/۳	۱۵	بذر	۱۴۷۰/۳۵	۱۴۱۰/۲۳
۸	سولفات روی	۱۱۴۲/۳۶	۱۱۲۰/۴۱	۱۶	آب	۷۵۰۰	۸۰۰۰

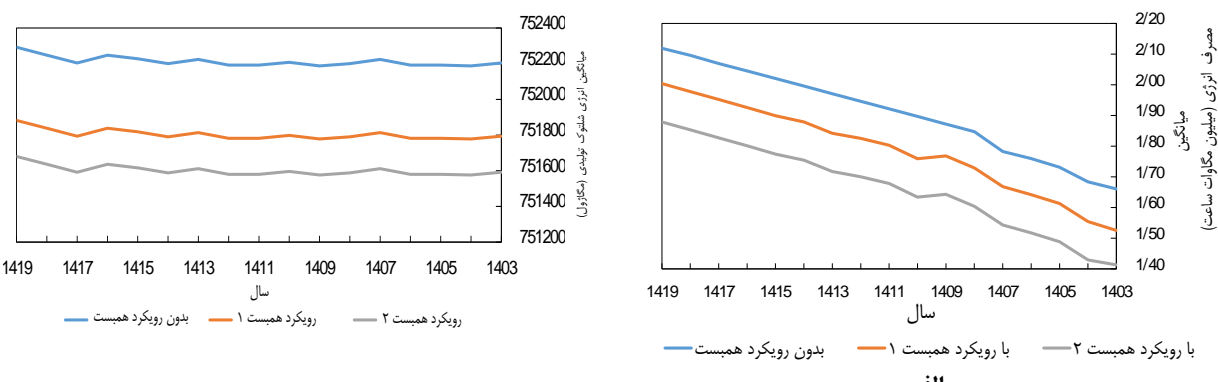
در مجموع میانگین انرژی مصرفی در اراضی تجهیزی برابر با $۴۲۵۲۳/۹$ مگاژول بر هکتار و میانگین انرژی تولیدی شلتونک معادل $۴۵۲۰۳/۴$ مگاژول بر هکتار بود. در اراضی سنتی، میانگین انرژی مصرفی معادل $۴۱۷۷۲/۴۴$ مگاژول بر هکتار و میانگین انرژی تولیدی شلتونک برابر با $۴۰۷۵۲/۶$ مگاژول بر هکتار بود. در اراضی تجهیزی نسبت انرژی، $۱/۰۶$ و این نسبت در اراضی سنتی، $۰/۷۵$ بود (جدول ۵). بررسی میانگین انرژی مصرفی و تولیدی نشان می دهد که نسبت انرژی در اراضی تجهیزی بیشتر است که می تواند ناشی از بهبود زیرساختها و کاهش اتلاف انرژی باشد. در اراضی سنتی، با وجود مصرف انرژی کمتر، تولید شلتونک کاهش نشان داد. این موضوع ممکن است به دلیل استفاده از روش های قدیمی، ناکارآمدی در سیستم تولید، یا کیفیت پایین نهاده ها باشد. نتایج یکپارچه سازی مدل های WEAP و LEAP برای پنج شهرستان شامل میزان مصرف آب، مصرف انرژی، و تولید غذا (شلتونک) در شکل های ۷ تا ۹ ارائه شده است. در تحلیل روند مصرف آب، عواملی مانند سطح زیر کشت ارقام پرمحصول و محلی، درصد نیاز ماهانه آب در هر یک از سایت های تقاضا (پنج بخش) و درصد مصرف آب در سیستم تقاضا، سهم مجموع بخش های کشاورزی، صنعتی و خانگی را از منابع آب در بر گرفته و الگوهای مصرف را مشخص کرده است. همان طور که در شکل ۷ مشخص شده دو رویکرد همبست از مصرف واقعی بدون رویکرد همبست پیروی می کند و در مجموعه سال های مشخص این روند افزایشی یا کاهشی بوده است که می توان علت روند افزایشی را در عدم اعمال مدیریت مناسب در بخش های ذی ربط با بخش آب دانست؛ هر چند این روند به مرور زمان با رعایت مدیریت مناسب از سوی ذی نفعان کاهشی و به ثبات رسیده است.



شکل ۷. میزان مصرف آب در سناریوهای مختلف

در شکل ۸ روند مصرف انرژی در بخش های مورد مطالعه با وجود رویکردهای همبست و عدم وجود آن آورده شده است. همان طور که مشاهده می شود (شکل ۸ الف) روند مصرف انرژی تحت سناریو دوم یعنی به کارگیری تسطیح و یکپارچه سازی اراضی کمترین مصرف انرژی را به همراه داشته است. پس از آن کمترین مصرف انرژی در سناریو اول استفاده از ارقام پرمحصول مشاهده شد. در شکل ۸ ب میانگین انرژی حاصل از تولید شلتونک رویکرد اول و دوم و بدون آن دو به ترتیب ۷۵۱۸۰۰ , ۷۵۱۶۰۰ و ۷۵۲۲۰۰ وجود داشته است. بر اساس شکل ۸ هر چند میانگین انرژی شلتونک تولیدی در سناریو اول (استفاده از ارقام پرمحصول) و سناریو دوم (اجرای تسطیح و یکپارچه سازی اراضی) به تهایی از حالت بدون رویکرد (مجموع استفاده از ارقام محلی در اراضی تجهیز نشده) کمتر شده، ولی در مجموع استفاده از ارقام

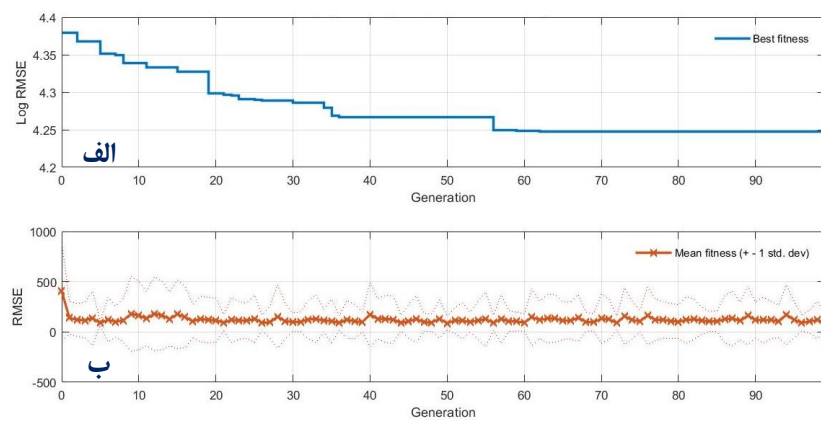
پرمحصول و اجرای تسطیح و یکپارچه‌سازی اراضی موجب افزایش میانگین انرژی شلتوك تولیدی شده است. عدم اطلاع برخی کشاورزان و مالکان مزارع از مزایای استفاده از ارقام پرمحصول و اجرای تسطیح و یکپارچه‌سازی اراضی در سال‌های اولیه یا برخی از دوره‌ها می‌تواند موجب کاهش استقبال از این روش‌ها شده و در مقاطع زمانی خاص، روند تولید را دچار نوسان یا حتی نزولی کند. بنابراین، ترویج آگاهی و آموزش کشاورزان در کنار توسعه زیرساخت‌ها، نقش کلیدی در تضمین پایداری تولید برجسته دارد.



شکل ۸. میزان مصرف انرژی (الف) و میزان انرژی تولیدی شلتوك (ب) در سناریوهای مختلف

نتایج مدل‌سازی

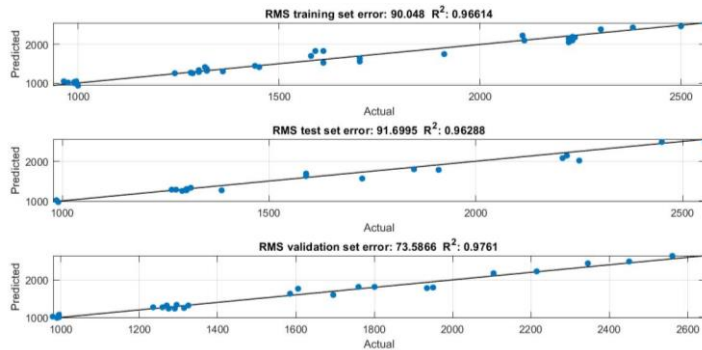
با اجرای مدل MGP، همگرایی و دستیابی به جواب بهینه پس از ۱۰۰ تکرار (نسل) حاصل شد که در شکل ۹ (الف و ب) نشان داده شده است. همان‌طور که در شکل ۹ مشخص است مقدار خطأ Log RMSE (Log RMSE) مدل بدست آمده با استفاده از MGP با افزایش تکرار الگوریتم کاهش یافته است و در نهایت ثابت یا به عبارتی همگرا شده است. این روند نشان‌دهنده بهبود تدریجی مدل در طی فرآیند آموزش و تنظیم پارامترها است، به‌طوری که با افزایش تعداد تکرارها با رسیدن به ۱۰۰ تکرار، مدل به یک وضعیت پایدار می‌رسد که در آن تغییرات خطأ ناچیز شده و عملکرد مدل ثابت شود. در مدل خروجی، مقدار شاخص خطأ Log RMSE به ازای بهترین تناسب مدل همگرا شده (شکل ۹ (الف)) برابر است با $4/2398$ ، که در این وضعیت مقدار شاخص خطأ RMSE به ازای میانگین تناسب مدل همگرا شده (شکل ۹ (ب)) برابر با $23/70$ است.



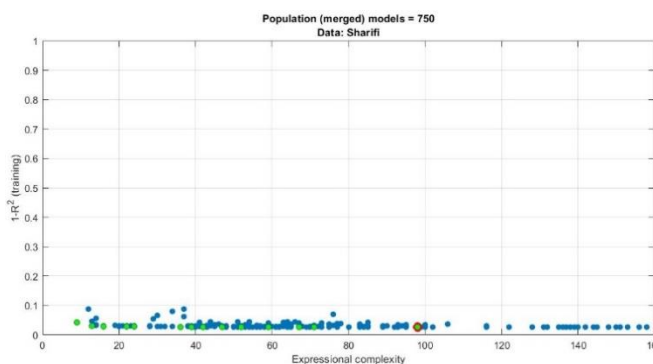
شکل ۹. مقدار خطای مدل

در شکل ۱۰ به‌طور معمول ۷۰ تا ۸۰ درصد از داده‌های حاصل از پرسشنامه، مصاحبه، و آمار و اطلاعات اسنادی به مرحله آموزش اختصاص می‌یابد. ۲۰ تا ۳۰ درصد باقی مانده به تناسب بین مراحل آزمون و اعتبارسنجی تقسیم می‌شوند. ضریب R^2 (تبیین) نشان دهنده میزان بالای توضیح و توجیه داده‌های اندازه‌گیری شده توسط مدل می‌باشد. بدین معنا که بیشتر از ۶۱/۹۶ درصد از داده‌ها توسط مدل در مرحله آموزش توضیح، توجیه و پوشش داده شده است. این مقدار برای مراحل آزمون و اعتبار سنجی به ترتیب ۶۱/۹۶ و ۲۹/۹۶ درصد

مشاهده شد. علاوه بر این مقدار RMS (ریشه میانگین مربعات) معادل 90.048×10^{-4} نشان دهنده دقیقی مدل در پیش‌بینی است. این معیار کمک می‌کند تا میزان انحراف پیش‌بینی‌ها از مقادیر واقعی ارزیابی شود. به عبارتی، مقدار RMS پایین‌تر نشان دهنده عملکرد بهتر مدل است، زیرا به معنای کاهش خطای پیش‌بینی‌ها می‌باشد. شکل ۱۱، رابطه بین پیچیدگی بیانی مدل‌ها و خطای مدل‌ها (با استفاده از معیار R^2) بر اساس داده‌های آموزش (RMS) را برای یک مجموعه جمعیت از مدل‌ها (تعداد ۷۵۰ مدل) نشان می‌دهد. مقادیر R^2 و نقاط پایین‌تر در نمودار بیانگر دقیقی بالاتر و عملکرد بهتر مدل بر اساس داده‌های آموزشی هستند.

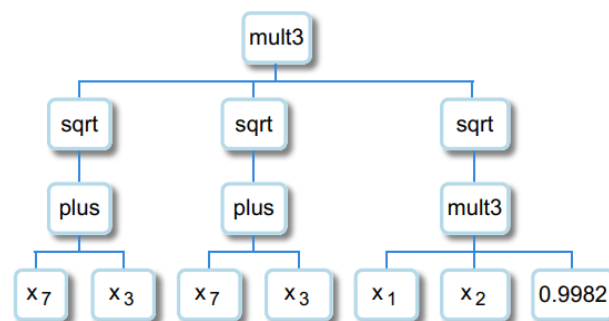


شکل ۱۰. پراکندگی داده‌های پیش‌بینی در برابر داده‌های واقعی



شکل ۱۱. رابطه بین پیچیدگی بیانی مدل‌ها و خطای مدل‌ها

در شکل ۱۲ نمودار درختی حاصل از برنامه نویسی ژنتیک نشان داده است. که دارای ۱۴ گره ۴ سطح و پیچیدگی برابر با $4^4 = 256$ می‌باشد. ۱۴ گره نشان دهنده تعداد وضعیت‌ها و راه حل‌های ممکن در MGP است، در حالی که ۴ سطح عمق درخت و مرحله تکامل MGP را مشخص می‌کند. پیچیدگی برابر با $4^4 = 256$ نیز بیانگر تعداد فرآیندها و مقایسه‌های مورد نیاز برای دستیابی به راه حل نهایی است و به عنوان معیاری ارزیابی کارایی MGP محسوب می‌شود. در بهترین شرایط، مقدار RMSE برابر با $110/353 = 0.314$ ، R^2 برابر با 0.9032 ، MAPE برابر با $10/831 = 0.012$ و EF برابر با $891/1000 = 0.891$ به دست آمد که معادله ریاضی آن به این صورت است: $(\sqrt{x_1 \times x_2} \times 0.9982)$



شکل ۱۲. نمودار درختی در مدل MGP

نتایج بهینه سازی

نتایج بهینه سازی مصرف آب در جدول ۶ با وجود محدودیت دسترسی به نیروی کار، ماشین های کشاورزی، پمپ های تأمین آب، کودهای شیمیایی و آلی، سوخت و برق نشان داده است.

جدول ۶ نتایج بهینه پارتو مصرف آب در تکرار ۱۰۰

ردیف	تقاضای آب (میلیون متر مکعب)	سطح زیر کشت (هکتار)	کمینه مصرف انرژی (مگاژول بر هکتار)	بیشینه تولید شلتوك (کیلوگرم بر هکتار)
۱	۱۵۱	۲۳۸۰۱	۱۶۵۲۳۲	۹۶۰۸
۲	۱۴۹	۲۳۸۰۲	۱۶۵۲۳۰	۱۰۲۸۰
۳	۱۵۸	۲۳۸۰۰	۱۶۵۳۳۲	۱۰۲۷۴
۴	۱۵۸	۲۳۸۰۰	۱۶۶۳۲۰	۱۰۱۹۶
۵	۱۳۵	۲۳۵۲۰	۱۵۲۲۰۰	۱۰۲۱۴
۶	۱۳۴	۲۳۵۲۱	۱۵۱۲۹۸	۱۰۲۲۰
۷	۱۳۵	۲۳۵۳۰	۱۵۱۴۵۰	۱۰۲۲۹
۸	۱۳۴	۲۳۵۲۱	۱۵۲۱۴۲	۱۰۲۲۹
۹	۱۳۴	۲۳۵۲۳	۱۵۳۲۰۰	۱۰۲۲۹
۱۰	۱۵۸	۲۳۸۵۶	۱۶۶۳۵۶	۱۰۲۲۲
۱۱	۱۵۸	۲۳۸۵۶	۱۶۶۳۵۲	۱۰۲۸۷
۱۲	۱۵۷	۲۳۸۵۵	۱۶۶۳۵۶	۱۰۲۱۹
۱۳	۱۳۳	۲۳۶۶۰	۱۵۲۲۰۰	۱۰۲۲۰
۱۴	۱۵۹	۲۳۸۵۰	۱۶۶۳۵۶	۱۰۲۲۰
۱۵	۱۶۹	۲۳۸۵۰	۱۶۶۳۳۳	۱۰۲۷۴
۱۶	۱۴۹	۲۳۸۵۰	۱۶۶۲۳۰	۱۰۲۷۴
۱۷	۱۵۰	۲۳۸۵۰	۱۶۶۳۱۱	۱۰۲۱۹
۱۸	۱۵۸	۲۳۸۵۶	۱۶۶۳۵۵	۱۰۲۱۹
۱۹	۱۵۱	۲۳۸۴۴	۱۶۶۳۳۳	۱۰۲۱۹
۲۰	۱۵۲	۲۳۸۴۵	۱۶۶۳۴۵	۱۰۲۲۰
۲۱	۱۵۱	۲۳۸۵۰	۱۶۶۳۰۱	۱۰۲۲۰
۲۲	۱۵۴	۲۳۸۵۶	۱۶۶۳۰۰	۱۰۲۲۰
۲۳	۱۵۲	۲۳۸۵۴	۱۶۶۵۲۰	۱۰۲۲۰
۲۴	۱۵۱	۲۳۸۵۲	۱۶۶۵۲۱	۱۰۲۲۰
۲۵	۱۵۱	۲۳۸۵۲	۱۶۶۵۲۶	۱۰۲۲۴
۲۶	۱۵۱	۲۳۸۵۱	۱۶۶۵۲۸	۱۰۲۲۰
۲۷	۱۵۱	۲۳۸۵۱	۱۶۶۵۲۷	۱۰۲۱۹
۲۸	۱۵۲	۲۳۸۵۶	۱۶۶۵۲۹	۱۰۲۱۹
۲۹	۱۵۴	۲۳۸۵۲	۱۶۶۵۲۳	۱۰۲۲۰
۳۰	۱۵۱	۲۳۸۵۲	۱۶۶۵۲۱	۱۰۲۲۰

نتایج بهینه سازی پارتو (جدول ۶) نشان داد که در شرایط بهینه امکان رسیدن به بیشینه میزان شلتوك ۱۰۲۸۷ کیلوگرم بر هکتار وجود دارد. در این شرایط، کمینه مصرف انرژی ۱۶۶۳۵۲ مگاژول بر هکتار، سطح زیر کشت ۲۳۸۵۶ هکتار و تقاضای آب ۱۵۸ میلیون متر



مکعب به دست آمد. در شرایط بهینه، از لحاظ کمینه مصرف انرژی برابر با ۱۵۱۲۹۸ مگاژول بر هکتار، میزان تقاضای آب درصد ۱۷/۹۱ سطح زیر کشت ۱/۴۲ درصد و بیشینه تولید شلتوك ۶۶/۰ درصد از خود بهبود نشان داد. براساس جدول ۶ می‌توان استنباط کرد پتانسیل صرفه‌جویی در مصرف آب، انرژی و بهبود تولید شلتوك به ترتیب به میزان ۱۱/۲۶، ۰/۰۶ و ۰/۰۶ درصد می‌باشد.

نتایج بهینه‌سازی مصرف انرژی در جدول ۷ با وجود محدودیت دسترسی آب و زمین (سطح زیر کشت) نشان داده شده است. نتایج بهینه‌سازی پارتو نشان داد که در شرایط بهینه امکان رسیدن به بیشینه میزان شلتوك ۶۶/۰ تن بر هکتار وجود دارد. در این صورت کمینه مصرف آب ۶۵۲/۳۲ میلیون مترمکعب و مصرف انرژی برابر با ۱۰۶/۲۲۳ هزار مگاژول بر هکتار است. در شرایط بهینه از لحاظ کمینه مصرف آب، ۶۵۲/۳۰ میلیون مترمکعب مصرف می‌شود که در این صورت انرژی، ۱۶۰/۲۲۰ هزار مگاژول بر هکتار مصرف و شلتوك ۱۰/۵۸۸ تن تولید می‌شود. همچنین، براساس جدول ۷ می‌توان دریافت پتانسیل صرفه‌جویی در مصرف آب، انرژی و بهبود تولید شلتوك به ترتیب به میزان ۰/۰۰۹، ۰/۰۳۰ و ۰/۰۴۶ درصد می‌باشد.

جدول ۷. نتایج بهینه پارتو مصرف انرژی در تکرار ۱۰۰

ردیف	کمینه مصرف آب (میلیون متر مکعب)	صرف انرژی (هزار مگاژول بر هکتار)	بیشینه تولید شلتوك (تن بر هکتار)
۱	۶۵۲/۳۳	۱۰۶/۵۵۶	۱۰/۵۲۳
۲	۶۵۲/۳۴	۱۰۶/۲۲۳	۱۰/۵۱۲
۳	۶۵۲/۳۴	۱۰۶/۲۵۴	۱۰/۵۱۴
۴	۶۵۲/۳۳	۱۰۶/۲۱۵	۱۰/۵۲۶
۵	۶۵۲/۳۳	۱۰۶/۲۲۲	۱۰/۵۰۲
۶	۶۵۲/۳۱	۱۰۶/۲۱۳	۱۰/۵۲۳
۷	۶۵۲/۳۶	۱۰۶/۲۱۳	۱۰/۵۴۱
۸	۶۵۲/۳۱	۱۰۶/۲۱۲	۱۰/۶۲۶
۹	۶۵۲/۳۲	۱۰۶/۲۲۳	۱۰/۶۶۶
۱۰	۶۵۲/۳۶	۱۰۶/۲۵۶	۱۰/۲۳۰
۱۱	۶۵۲/۳۱	۱۰۶/۱۲۰	۱۰/۲۸۵
۱۲	۶۵۲/۳۲	۱۰۶/۱۲۰	۱۰/۲۱۴
۱۳	۶۵۲/۳۱	۱۰۶/۱۲۴	۱۰/۲۹۸
۱۴	۶۵۲/۳۰	۱۰۶/۲۲۰	۱۰/۵۸۸
۱۵	۶۵۲/۳۰	۱۰۶/۲۲۳	۱۰/۳۶۶
۱۶	۶۵۲/۳۱	۱۰۶/۲۵۸	۱۰/۰۲۵
۱۷	۶۵۲/۳۵	۱۰۶/۲۴۷	۱۰/۰۲۵
۱۸	۶۵۲/۳۴	۱۰۶/۲۴۹	۱۰/۰۳۳
۱۹	۶۵۲/۳۴	۱۰۶/۳۳۶	۱۰/۰۴۱
۲۰	۶۵۲/۳۴	۱۰۶/۵۵۰	۱۰/۰۲۴
۲۱	۶۵۲/۳۰	۱۰۶/۵۴۱	۱۰/۰۳۳
۲۲	۶۵۲/۳۰	۱۰۶/۵۵۲	۱۰/۰۹۹
۲۳	۶۵۲/۳۰	۱۰۶/۵۱۲	۱۰/۰۲۵
۲۴	۶۵۲/۳۰	۱۰۶/۵۱۲	۱۰/۰۸۸
۲۵	۶۵۲/۳۶	۱۰۶/۵۱۳	۱۰/۱۲۲
۲۶	۶۵۲/۳۵	۱۰۶/۵۵۲	۱۰/۲۰۱
۲۷	۶۵۲/۳۰	۱۰۶/۶۶۵	۱۰/۰۲۹
۲۸	۶۵۲/۳۰	۱۰۶/۱۰۲	۱۰/۱۲۵
۲۹	۶۵۲/۳۱	۱۰۶/۱۰۲	۱۰/۰۴۵
۳۰	۶۵۲/۳۰	۱۰۶/۱۰۲	۱۰/۰۴۸

نتایج بهینه‌سازی تولید شلتوك در جدول ۸ با وجود محدودیت دسترسی به نیروی کار، ماشین‌های کشاورزی، پمپ‌های تأمین آب، کودهای شیمیایی و آلی، سوخت و برق نشان داده است. نتایج بهینه‌سازی پارتونشان داد که در شرایط بهینه امکان رسیدن به کمینه مصرف آب و کمینه مصرف انرژی به ترتیب به میزان ۶۳۳ میلیون متر مکعب و ۱۵۲۳۱۰ مگاژول بر هکتار وجود دارد. در این شرایط تولید شلتوك به ترتیب برابر با ۱۰۱۲۰ و ۱۰۳۶۰ تن بر هکتار بود. در شرایط بهینه مصرف آب، مصرف انرژی و تولید شلتوك به ترتیب ۰/۹۴ و ۱/۹۱ و ۲/۳۷ درصد بهبود نشان دادند. جدول ۸ نشان می‌دهد پتانسیل صرفه‌جویی در مصرف آب، انرژی و بهبود تولید شلتوك به ترتیب به میزان ۰/۹۴۷، ۰/۳۷۶ و ۰/۲۶۰ درصد می‌باشد.

در مجموع نتایج بهینه‌سازی نشان داد که در خوشبینانه‌ترین حالت صرفه‌جویی در تقاضای مصرف آب، انرژی و تولید شلتوك به میزان ۱۱/۲۶، ۰/۰۶ و ۷/۰۶ درصد می‌باشد؛ این در حالی است که در بدترین حالت پتانسیل صرفه‌جویی در مصرف آب، انرژی و بهبود تولید شلتوك به ترتیب به میزان ۰/۰۰۹، ۰/۵۳۰ و ۰/۲۶۰ درصد می‌باشد.

جدول ۸. نتایج بهینه پارتونشلتوك در تکرار ۱۰۰

ردیف	کمینه مصرف آب (میلیون متر مکعب)	کمینه مصرف انرژی (مگاژول بر هکتار)	تولید شلتوك (تن بر هکتار)
۱	۶۳۳	۱۵۵۲۳۰	۱۰۱۲۰
۲	۶۳۴	۱۵۵۲۲۰	۱۰۱۳۰
۳	۶۳۵	۱۵۵۲۳۰	۱۰۱۲۰
۴	۶۳۶	۱۵۵۲۴۵	۱۰۱۳۰
۵	۶۳۶	۱۵۵۲۲۰	۱۰۱۲۰
۶	۶۳۶	۱۵۵۲۳۰	۱۰۲۲۰
۷	۶۳۸	۱۵۵۲۳۰	۱۰۲۶۰
۸	۶۳۷	۱۵۵۲۴۰	۱۰۲۷۰
۹	۶۳۸	۱۵۵۲۵۰	۱۰۲۵۰
۱۰	۶۳۸	۱۵۵۲۷۰	۱۰۲۹۰
۱۱	۶۳۶	۱۵۵۳۰۰	۱۰۳۴۰
۱۲	۶۳۶	۱۵۵۳۴۰	۱۰۳۶۰
۱۳	۶۳۸	۱۵۵۳۶۰	۱۰۳۵۰
۱۴	۶۳۷	۱۵۷۳۰۰	۱۰۳۶۰
۱۵	۶۳۸	۱۵۴۲۳۰	۱۰۴۰۰
۱۶	۶۳۶	۱۵۳۱۵۰	۱۰۴۵۰
۱۷	۶۳۶	۱۵۶۲۹۰	۱۰۳۲۰
۱۸	۶۳۸	۱۵۴۱۲۰	۱۰۳۶۰
۱۹	۶۳۶	۱۵۶۲۳۰	۱۰۲۴۰
۲۰	۶۳۹	۱۵۲۳۱۰	۱۰۳۶۰
۲۱	۶۳۶	۱۵۶۲۰۰	۱۰۳۵۰
۲۲	۶۳۶	۱۵۶۳۲۰	۱۰۳۶۰
۲۳	۶۳۸	۱۵۳۲۱۰	۱۰۳۸۰
۲۴	۶۳۶	۱۵۶۲۱۰	۱۰۳۹۰
۲۵	۶۳۶	۱۵۴۲۱۰	۱۰۳۷۰
۲۶	۶۳۹	۱۵۶۳۲۰	۱۰۳۶۰
۲۷	۶۳۸	۱۵۴۲۰۰	۱۰۳۶۰
۲۸	۶۳۶	۱۵۴۲۳۰	۱۰۳۵۰
۲۹	۶۳۵	۱۵۳۲۶۰	۱۰۳۶۰
۳۰	۶۳۶	۱۵۴۵۲۰	۱۰۳۵۰



بحث

در این تحقیق دو سناریو استفاده از ارقام پرمحصول و تسطیح اراضی کشاورزی و مقایسه آن با رقم محلی و عدم تسطیح اراضی، مدل سازی و بهینه سازی مصرف آب، انرژی و تولید شلتوك مورد بررسی قرار گرفت. در مزارع ارقام محلی نسبت انرژی ۰/۵۳۵ و در مزارع ارقام پرمحصول این نسبت برابر با ۱/۱۲ بود. در اراضی تجهیزی نسبت انرژی، ۱/۰۶ و این نسبت در اراضی سنتی، ۰/۹۷۵ بود. در تحقیقات مشابه نسبت انرژی در تولید هلو در استان البرز ۰/۰۷ و تولید نخود دیم در استان آذربایجان غربی ۱/۲۲ و تولید انگور در استان خراسان شمالی ۵/۳۹ به دست آمده است (داودالموسی و همکاران، ۱۴۰۲؛ قادرپور و رفیعی، ۱۳۹۵). مقایسه نتایج نشان می دهد که مصرف کود حیوانی، بالاترین میزان را در مزارع تحت کشت، داشته است. طرح تجهیز و نوسازی اراضی شالیکاری نقش مؤثری در افزایش مصرف کود حیوانی داشته است که با نتایج تحقیق مشابه ابراهیمی و همکاران (۱۳۹۰) همسو بود. علاوه بر این این افزایش مصرف می تواند در مزارع مورد بررسی به جهت آشنایی بیشتر کشاورزان و مالکین مزارع از فواید کود حیوانی بوده باشد. از مزایای کود حیوانی می توان به بهبود ساختار خاک، افزایش حاصلخیزی خاک، پایداری زیست بوم زراعی، بهبود خصوصیات بیولوژیکی خاک و کنترل فرسایش خاک اشاره کرد (Gu & Yang, 2023). پس از کود حیوانی، کود شیمیایی نیترات بیشترین مصرف را به خود اختصاص داد. در تحقیق (Rinasoa et al., 2022) نیز اشاره شده کود نیترات به عنوان یکی از ارکان مدیریت مدرن کشاورزی، نقش مهمی در افزایش عملکرد محصول دارد و در زراعت برنج راهکاری کلیدی برای افزایش محصول محسوب می شود. عملکرد شلتوك، راندمان مصرف آب، و بهره وری نیتروژن در کشت شلتوك برنج به طور قابل توجهی تحت تأثیر مقدار و نحوه و مدیریت آبیاری، و تأثیر متقابل با میزان نیتروژن مصرفی قرار می گیرد (Wang et al., 2016). در رقم سنتی مجموع میزان مصرف سوم شیمیایی برابر با ۲/۵۱ درصد مشاهده شد این میزان در رقم پرمحصول برابر با ۲/۷۲ درصد بود که نشان از مصرف بیشتر ۸/۳۶ درصدی در ارقام پرمحصول نسبت به ارقام محلی دارد. در تحقیق مشابه در استان گلستان، مصرف سوم قارچ کش در ارقام پرمحصول رشد مصرف ۱۷/۵ درصدی نسبت به ارقام محلی نشان داده است (طاهری راد، ۱۳۹۶). تحقیقی در استان مازندران نشان داد که ارقام پرمحصول به سوم بیشتری نیاز دارند، اما به دلیل اثرات منفی زیست محیطی استفاده بی رویه از نهاده های شیمیایی، تأکید بر کاهش مصرف سوم، بهبود مدیریت مزرعه، و آموزش کشاورزان از طریق سیاست های هدفمند و برنامه های مشاوره ای برای دستیابی به مدیریت پایدار ضروری است (Gava et al., 2024). انرژی نیروی انسانی مورد نیاز برای تولید شلتوك در سطح مزارع مورد بررسی کمتر از یک درصد از کل انرژی مصرفی و به میزان ۶۶ تا ۷۴ مگاژول بر هکتار بود. انرژی مصرفی نیروی انسانی در تحقیقات مشابه در تایلند و مالزی به ترتیب ۱۳/۱ و ۳۱/۸ مگاژول بر هکتار بوده است (Chaichana et al., 2014; Elsoragaby et al., 2019). روند مصرف آب و انرژی در دوره زمانی ۱۴۰۳ تا ۱۴۱۹ به طور مستقیم با نرخ رشد جمعیت مرتبط است. در شهرهای مورد بررسی، رشد مثبت جمعیت باعث افزایش تقاضای آب شده، در حالی که در بسیاری از روستاهای حوضه به دلیل نرخ رشد منفی جمعیت، تقاضای آب کاهش یافته است که از این لحاظ نتایج تحقیق صفاتی و همکاران (۱۳۹۹) را تایید می کند. رشد جمعیت، گسترش شهرنشینی، پیشرفت فناوری، تغییرات اقلیمی و رقابت اقتصادی از عوامل اصلی افزایش مصرف انرژی در کشاورزی، صنعت و خانگی هستند (Wang & Azam, 2024). این عوامل نیازمند مدیریت بهینه و افزایش بهره وری انرژی برای کاهش اثرات زیست محیطی هستند که به تبع به روند با ثبات انرژی حاصل از تولید شلتوك می نجامد. نتایج مدل سازی نشان داد که در بهترین شرایط، مقادیر R^2 و MAPE به ترتیب برابر با ۱۱۰/۸۳۱، ۱۱۰/۳۵۳، ۰/۹۰۳۲، ۰/۸۹۱ و ۰/۰۹۰ می باشد. این مقادیر بیانگر دقت بالای مدل در شبیه سازی و تحلیل سناریوهای مختلف است و توانایی آن را در کاهش زمان اجرا و کاهش ریسک های ناشی از تصمیم های نادرست را نشان می دهد. نتایج بهینه سازی نشان داد که در شرایط بهینه، مصرف آب ۰/۹۶ درصد، مصرف انرژی ۰/۵۳ و تولید شلتوك ۳/۲۶ درصد از خود بهبود نشان می دهد. همچنین، میزان تقاضای آب و سطح زیر کشت به ترتیب ۱۷/۹۱، ۱/۴۲ درصد بهبود داشتند که توانایی و پتانسیل صرفه جویی را نشان می دهد.

نتیجه گیری و پیشنهادها

با افزایش جمعیت، تقاضا برای منابع طبیعی به طور قابل توجهی رشد کرده و این منابع با چالش های جدی مواجه شده اند. در این میان، کشاورزی که نقشی کلیدی در تأمین مواد غذایی دارد، به مصرف بالای آب و انرژی وابسته است. این وابستگی، علاوه بر کاهش منابع آبی و انرژی، پیامدهای زیست محیطی گسترده ای مانند تشدید خشکسالی ها، افزایش گرمایش جهانی، تغییرات اقلیمی و آسیب های جبران ناپذیر به اکوسیستم ها را به دنبال دارد. از این رو، ایجاد تعادل میان تولید کشاورزی و حفاظت از منابع طبیعی از اهمیت بالایی برخوردار است. در

این شرایط، رویکرد به هم پیوسته آب، انرژی و غذا به عنوان راهکاری جامع و پایدار مطرح می‌شود. تحلیل با رویکرد همبست موجب بهبود نتایج از طریق شناسایی تعاملات متقابل و پیچیده بین مصرف آب، انرژی و تولید غذا شده است، در حالی که بررسی جداگانه ممکن است به درک ناقص و تصمیم‌گیری غیربهینه منجر شود. این رویکرد با کاهش عدم قطعیت، افزایش دقت مدل، و ارائه تصویری جامع‌تر، امکان بهینه‌سازی همزمان مصرف منابع را فراهم می‌کند. همچنین، سیاست‌گذاری و مدیریت منابع بر اساس این تحلیل کارآمدتر خواهد بود، زیرا به جای تمرکز بر یک عامل، راهکارهایی ارائه می‌دهد که بهینه‌سازی همزمان بین مصرف آب، انرژی و تولید غذا را ممکن می‌سازند. بهینه‌سازی رویکرد همبست نشان داد که در مطلوب‌ترین حالت ذخیره‌سازی منابع آبی، انرژی و تولید شلتوك به میزان ۱۰/۰۶ و ۷/۰۶ درصد می‌باشد؛ در رویکرد جداگانه، تعاملات بین این سه متغیر نادیده گرفته می‌شود که می‌تواند برآوردهای نادرست و تصمیم‌گیری‌های غیربهینه را موجب شود. این رویکرد با هدف مدیریت یکپارچه این سه حوزه، تلاش می‌کند تا تعادل میان تأمین مواد غذایی، استفاده بهینه از منابع آب و انرژی، و کاهش اثرات زیست‌محیطی را برقرار کند. استفاده از این رویکرد می‌تواند گامی مؤثر در کاهش پیامدهای منفی ناشی از واسنگی کشاورزی به منابع طبیعی باشد. نتایج نشان داد که میانگین انرژی مصرفی و میانگین انرژی حاصل از تولید شلتوك در سناریو ارقام پرمحلول شلتوك برج نسبت به سناریو تسطیح اراضی کشاورزی بیشتر بوده است. از پیشنهادهای اجرایی می‌توان به افزایش ضربی نفوذ دانش و فناوری در کشاورزی، بهبود زیرساخت‌ها، آموزش کشاورزان، سیاست‌های حمایتی دولت، گسترش بازارهای داخلی و خارجی، و مدیریت پایدار منابع طبیعی، که از عوامل کلیدی در ثبات تولید شلتوك محسوب می‌شوند، اشاره نمود. ایجاد بازارهای تضمینی یا قراردادهای خرید بلندمدت، حمایت‌های مالی و یارانه‌ای از سوی دولت، و تنظیم قیمت‌ها برای جلوگیری از نوسانات شدید منتج به ثبات تولید شلتوك می‌شود. همچنین، بهبود دسترسی کشاورزان به ارقام پرمحلول و ماشین‌های کشاورزی نوین، و پشتیبانی از صنایع تبدیلی مانند فرآوری و بسته‌بندی برج، به افزایش ثبات در صنعت تولید برج می‌انجامد. گسترش بازارهای صادراتی و توسعه تفاقدات تجاری و در نهایت، آموزش کشاورزان در زمینه کشاورزی پایدار و مدیریت منابع طبیعی، می‌تواند به تولید پایدار و کاهش بحران‌های تولیدی کمک کند و از این طریق میزان تولید شلتوك را تثبیت نماید.

سپاسگزاری

از دانشگاه شهید چمران اهواز و حمایت مالی معاونت پژوهش و فناوری دانشگاه شهید چمران اهواز به خاطر حمایت مالی در قالب پژوهانه (SCU.AA98.29747) تشکر و قدردانی می‌شود.

منابع

- ابراهیمی، محمدصادق؛ کلانتری، خلیل؛ اسدی، علی؛ موحد محمدی؛ سید‌محمدی و صالح، ایرج (۱۳۹۰). مقایسه پایداری مصرف نهاده‌ها در مزارع شالیکاری سنتی و تجهیز شده ایران (مطالعه موردی استان گیلان). *علوم محیطی*، ۲(۹)، ۵۳-۶۴.
- بیات، فاطمه؛ روزبهانی، عباس؛ و هاشمی شاهدانی، سید مهدی (۱۴۰۰). بهبود عملکرد سامانه‌های توزیع آب کشاورزی در شبکه‌های آبیاری با رویکرد پیوند آب-غذا-انرژی. *مدیریت آب و آبیاری*، ۱۱(۴)، ۹۴۹-۹۶۵.
- برون، صدیقه؛ یاوری، غلامرضا و رضازاده، مریم (۱۳۹۹). پیش‌بینی پیامدهای تغییر اقلیم بر محصول گندم استان هرمزگان. *محیط‌سیستم و توسعه*، ۱۱(۲۱)، ۱۲۶-۱۱۱.
- داودالموسی، سید امید؛ رفیعی، شاهین؛ و جعفری، علی (۱۴۰۲). مدل‌سازی انرژی تولید هلو با بهره‌گیری یادگیری ماشین در شهرستان نظرآباد، استان البرز. *مهندسی بیوسیستم ایران* ۱۵۴(۱)، ۵۳-۷۱.
- صفایی، وحیده؛ پورمحمد، یاور و داوری، کامران (۱۳۹۹). رویکرد به هم پیوسته آب، انرژی و غذا در مدیریت منابع آب (مطالعه موردی: محدوده مشهد). *نشریه آب و زهکشی ایران*، ۱۴(۵)، ۸۰۷-۱۷۲۱.
- طاهری‌راد، علی‌رضا؛ خجسته‌پور، مهدی؛ روحانی، عباس و خرمدل، سرور (۱۳۹۶). بررسی کارایی مصرف انرژی ارقام مختلف برج دانه‌بلند در استان گلستان. *تحقیقات غلات*، ۱۷(۱)، ۵۱-۶۶.
- قادرپور، امید و رفیعی، شاهین (۱۳۹۵). تجزیه و تحلیل و مدل‌سازی انرژی و عملکرد تولید نخود دیم در شهرستان بوکان. *مهندسی بیوسیستم ایران*، ۴۷(۴)، ۷۲۰-۷۱۱.
- کاراندیش، فاطمه؛ درزی نفتچالی؛ عبدالله، امیدی، فریماه و حسینی نیا، محدثه (۱۴۰۱). سند راهبردی بهره‌وری آب؛ شاخص‌های بهره‌وری در بخش‌های کشاورزی، شرب و صنعت. *طرح پژوهشی*. شرکت مدیریت منابع ایران.



کاووسی کلامشی، محمد؛ ظنی پور علیجانی، مصصومه؛ یاوری، غلامرضا و ادبی، شایگان. (۱۳۹۶). ارزیابی اثر اجرای طرح ملی افزایش تولید برنج بر کارایی فنی مزارع شالیکاری (مطالعه موردی: منطقه پیربازار شهرستان رشت). *تحقیقات غلات*, ۷(۲)، ۲۳۵-۲۴۶.

گودرزی، محمدرضاء؛ پیریائی، رضا، و موسوی، میرحیم (۱۳۹۹). درک پیوند آب-غذا- انرژی و مدیریت برای بهره‌وری از منابع آب موجود. *نشریه آب و خاک (علوم و صنایع کشاورزی)*, ۲(۳۴)، ۲۵۵-۲۶۸.

منعم، محمد جواد؛ دلاور، مجید و حسینی، سید معین (۱۳۹۹). کاربرد و ارزیابی پیوند آب، غذا و انرژی (نکسوس) در مدیریت شبکه‌های آبیاری: مطالعه موردی شبکه آبیاری زاینده‌رود. *نشریه آبیاری و زهکشی ایران*, ۱۴(۱)، ۲۷۵-۲۸۵.

هوشیار، نیما و اشرف‌طالبش، سید سیامک (۱۳۹۵). پیش‌بینی بهینه رفتار مخزن اختلاط T‌شکل براساس برنامه‌نویسی ژنتیکی چند هدفی. *مهندسی مکانیک مدرس*, ۱۶(۱۲)، ۶۱۲-۶۱۶.

REFERENCES

- Acaroglu, M. (1998). Energy from biomass, and applications. *University of Selcuk, Graduate School of Natural and Appl Sciences*, University of Selcuk.
- Chaichana, T., Phethuayluk, S., Tepnual, T., & Yaibok, T. (2014). Energy Consumption Analysis for SANGYOD Rice Production. *Energy Procedia*, 52, 126–130. <https://doi.org/10.1016/j.egypro.2014.07.062>
- Cochran, W. G. (1977). *Sampling Techniques*. New York: John Wiley and Sons Publishing.
- Conti, J., Holtberg, P., Diefenderfer, J., LaRose, A., Turnure, J. T., & Westfall, L. International Energy Outlook 2016 With Projections to 2040. United States. <https://doi.org/10.2172/1296780>
- Elsoragaby, S., Yahya, A., Mahadi, M. R., Nawi, N. M., & Mairghany, M. (2019). Analysis of energy use and greenhouse gas emissions (GHG) of transplanting and broadcast seeding wetland rice cultivation. *Energy*, 189, 116160. <https://doi.org/10.1016/j.energy.2019.116160>
- Feng, T., Liu, B., Ren, H., Yang, J., & Zhou, Z. (2023). Optimized model for coordinated development of regional sustainable agriculture based on water–energy–land–carbon nexus system: A case study of Sichuan Province. *Energy Conversion and Management*, 291, 117261. <https://doi.org/10.1016/j.enconman.2023.117261>
- Gava, O., Ardakani, Z., Delalic, A., & Monaco, S. (2024). Environmental Impacts of Rice Intensification Using High-Yielding Varieties: Evidence from Mazandaran, Iran. *Sustainability*, 16(6), 2563. <https://doi.org/10.3390/su16062563>
- Gu, J., & Yang, J. (2022). Nitrogen (N) transformation in paddy rice field: Its effect on N uptake and relation to improved N management. *Crop and Environment*, 1(1), 7–14. <https://doi.org/10.1016/j.crope.2022.03.003>
- Hailemariam, W. G., Silalertruksa, T., Gheewala, S. H., & Jakrawatana, N. (2019). Water–Energy–Food Nexus of Sugarcane Production in Ethiopia. *Environmental Engineering Science*, 36(7), 798–807. <https://doi.org/10.1089/ees.2018.0549>
- Hasanzadeh Saray, M., Baubekova, A., Gohari, A., Eslamian, S. S., Klove, B., & Torabi Haghghi, A. (2022). Optimization of Water-Energy-Food Nexus considering CO₂ emissions from cropland: A case study in northwest Iran. *Applied Energy*, 307, 118236. <https://doi.org/10.1016/j.apenergy.2021.118236>
- Karamian, F., Mirakzadeh, A. A., & Azari, A. (2021). The water-energy-food nexus in farming: Managerial insights for a more efficient consumption of agricultural inputs. *Sustainable Production and Consumption*, 27, 1357–1371. <https://doi.org/10.1016/j.spc.2021.03.008>
- Keating, B. A., Herrero, M., Carberry, P. S., Gardner, J., & Cole, M. B. (2014). Food wedges: Framing the global food demand and supply challenge towards 2050. *Global Food Security*, 3(3–4), 125–132. <https://doi.org/10.1016/j.gfs.2014.08.004>
- Keyhanpour, M. J., Musavi Jahromi, S. H., & Ebrahimi, H. (2021). System dynamics model of sustainable water resources management using the Nexus Water-Food-Energy approach. *Ain Shams Engineering Journal*, 12(2), 1267–1281. <https://doi.org/10.1016/j.asej.2020.07.029>
- Nassiri, S. M., & Singh, S. (2009). Study on energy use efficiency for paddy crop using data envelopment analysis (DEA) technique. *Applied Energy*, 86(7–8), 1320–1325. <https://doi.org/10.1016/j.apenergy.2008.10.007>
- Niu, G., Zheng, Y., Han, F., & Qin, H. (2019). The nexus of water, ecosystems and agriculture in arid areas: A multiobjective optimization study on system efficiencies. *Agricultural Water Management*, 223, 105697. <https://doi.org/10.1016/j.agwat.2019.105697>
- Rinasoa, S., Rakotoson, T., Rabeharisoa, L., Tsujimoto, Y., & Nishigaki, T. (2023). Farmyard manure

- application increases lowland rice yield in phosphorus-deficient soils, but not in soils with high pH and phosphorus-fixing capacity. *Field Crops Research*, 296, 108906. <https://doi.org/10.1016/j.fcr.2023.108906>
- Singh, J. M. (2002). On farm energy use pattern in different cropping systems in Haryana, India. International Institute of Management University of Flensburg, Sustainable Energy Systems and Management. Master of Science, Germany.
- Wang, J., & Azam, W. (2024). Natural resource scarcity, fossil fuel energy consumption, and total greenhouse gas emissions in top emitting countries. *Geoscience Frontiers*, 15(2), 101757. <https://doi.org/10.1016/j.gsf.2023.101757>
- Wang, Z., Zhang, W., Beebout, S. S., Zhang, H., Liu, L., Yang, J., & Zhang, J. (2016). Grain yield, water and nitrogen use efficiencies of rice as influenced by irrigation regimes and their interaction with nitrogen rates. *Field Crops Research*, 193, 54–69. <https://doi.org/10.1016/j.fcr.2016.03.006>
- Zhang, X., & Vesselinov, V. V. (2017). Integrated modeling approach for optimal management of water, energy and food security nexus. *Advances in Water Resources*, 101, 1–10. <https://doi.org/10.1016/j.advwatres.2016.12.017>
- Bayat, F., Roozbahani, A., & Hashemy Shahdany, M. (2022). Improving the Performance of Agricultural Water Distribution Systems in Irrigation Networks Using Water-Food-Energy Nexus. *Water and Irrigation Management*, 11(4), 669-986 (In Persian)..
- Davodalmosavi, S. O., Rafiee, S., & Jafari, A. (2023). Modeling of peach production energy using machine learning in Nazarabad township, Alborz province. *Iranian journal of Biosystem Engineering*, 54 (1), 53-71 (In Persian).
- Ebrahimi, M.S., Kalantri, K., Asadi, A., Movahed Mohammadi, S. H., & Saleh, I. (2012). The Comparison of Inputs Consumption Sustainability in Traditional and Developed Paddy Fields in Iran (Case Study of Gilan Province). *Environmental Sciences*, 9(2), 53-64 (In Persian).
- Ghaderpour, O., & Rafiee, S. (2017). Analysis and modeling of energy and production of dryland chickpea in the city of Bukan. *Iranian Journal of Biosystem Engineering*, 47(4), 720-711 (In Persian).
- Goodarzi, M. R., Piryaei, R., & Moosavi, M .R. (2020). Understanding Water-Food-Energy Nexus and their Management for the Utilization of the Existing Water Resources. 34(2), *Journal of Water and Soil*, 255-268 (In Persian).
- Hoseini, S. M., & Delavar, M. (2020). Application and Evaluation of Water, Food and Energy (NEXUS) in Irrigation Networks Management Case Study of Zayandehrud Irrigation Network. *Iranian Journal of Irrigation and Drainage*, 14(1), 275-285 (In Persian).
- Karandish, F., Darzi Naftchali, A., Omidi, F., & Hosseiniinia, M (2012). Strategic document on water efficiency; efficiency indicators in the agricultural, drinking and industrial sectors. Research project. Iranian Resources Management Company (In Persian).
- Kavoosi Kalashami, M., Zanipoor, M., Yavari, G., & Adibi, S. (2017). Evaluation of the effect of national plan implementation of increasing rice production on technical efficiency of paddy farms (A case study: Pirbazar region of Rasht city). *Cereal Research*, 7(2), 235-246 (In Persian).
- Paroon, S., Yavari, G. R., & Rezazadeh, M. (2020). Forecasting the Consequences of Climate Change for Wheat Crop in Hormozgan Province. *Environment and development Journal*, 11(21), 111-126 (In Persian).
- Safaee, V., Pourmohamad, Y., & Davari, K. (2021). Integrated Approach of Water, Energy and Food in Water Resources Management (Case Study: Mashhad Catchment). *Iranian Journal of Irrigation and Drainage*, 14(5), 1708-1721 (In Persian).
- Taheri-Rad, A., Khojastehpour, M., Rohani, A.,& Khoramdel, S. (2017). Assessing the energy consumption efficiency of different long grain rice varieties in Golestan province. *Cereal Research*, 7(1), 51-66 (In Persian).